

7. Vijčani spojevi

7. Vijčani spojevi	
7.1 Osnove vijčanih spojeva	2
7.1.1 Uvod	2
7.1.2 Struktura i nazivlje vijčanih spojeva.....	4
7.1.3 Zavojnica i navozi	7
7.1.4 Vrste i označavanje vijaka i matica.....	9
7.1.5 Osnovna svojstva vijčanih spojeva	10
7.2 Sistematizacija vijčanih spojeva.....	12
7.2.1 Nazivlje vijčanih spojeva.....	12
7.2.2 Vrste i primjeri elemenata vijčanih spojeva.....	13
7.2.3 Vrste i primjeri zavrtanja	15
7.2.4 Vrste i primjeri vijčanih spojeva	15
7.2.5 Osnovna svojstva vijčanih spojeva	16
7.3 Usvajanje vijčanih spojeva.....	16
7.3.1 Zahtjevi vijčanih spojeva	17
7.3.2 Oblikovanje vijčanih spojeva.....	17
7.3.3 Proračun vijčanih spojeva.....	17
7.3.4 Primjeri usvajanja vijčanih spojeva	28
7.3.5 Norme vijčanih spojeva	28
7.3.6 Kontrolni proračun vijčanih spojeva.....	28
7.4 Primjena vijčanih spojeva.....	28
7.4.1 Izrada elemenata vijčanih spojeva	28
7.4.2 Montaža i demontaža vijčanih spojeva	29
7.4.3 Režimi rada i vijek trajanja vijčanih spojeva	30
7.4.4 Održavanje vijčanih spojeva	30
7.4.5 Odlaganje vijčanih spojeva	30
7.4.6 Pogreške u primjeni vijčanih spojeva	30
Dodatak.....	31
Literatura	45

Ishodi učenja:

- Razumijevanje osnova vijčanih spojeva** (definicija, elementi, funkcioniiranje, osnovna svojstva).
- Usvojena znanja iz sistematizacije vijčanih spojeva** (ispravno oblikovanje i pogreške).
- Usvojena znanja iz konstruiranja vijčanih spojeva** (norme, proračun, primjeri usvajanja).
- Usvojena znanja iz primjene vijčanih spojeva** (izrada i kvalitete vijaka i matica, tehnologija spajanja, korištenje).

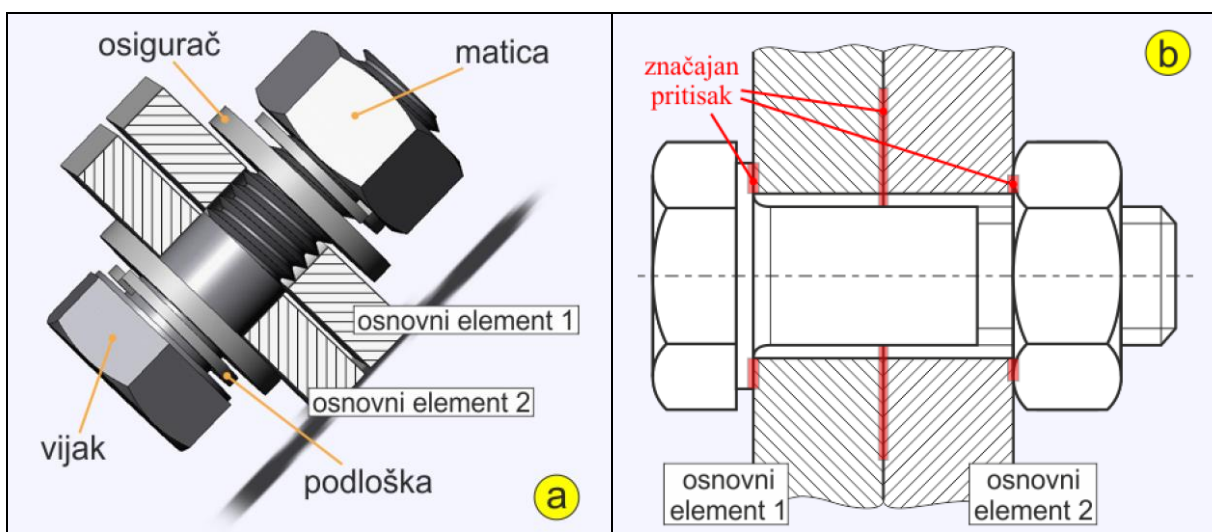
7.1 Osnove vijčanih spojeva

7.1.1 Uvod



Slika 07.01 Vijčani spojevi dijelova motora SUI (glava/bregasta/ventili)

Vijčanim se spojevima, uz korištenje pomoćnih elemenata – vijaka i/ili matica (*podloški i osigurač*), spajaju osnovni spajani strojni elementi u lako rastavljive sklopove (S-07.02 – b). Pri spajanju (*po navlačenju osigurača i podloške na tijelo vijka*) uvlači se vijak kroz prvrte osnovnih elemenata (*na tijelo vijka navlače podloška i osigurač*) i na vijak navrće matica. Uz pomoć jednog ključa sprječava se okretanje vijka dok se drugim ključem okreće matica i time priteže vijčani spoj. U prtegnutom vijčanom spoju prisutni su značajni pritisici između osnovnih strojnih elemenata koji sprječavaju njihova uzajamna pomicanja u ravnini okomitoj na os vijčanog spoja (S-07.02 – a).



Slika 07.02 Vijčani spoj osnovnih strojnih elemenata

Osnovna su svojstva vijčanog spoja:

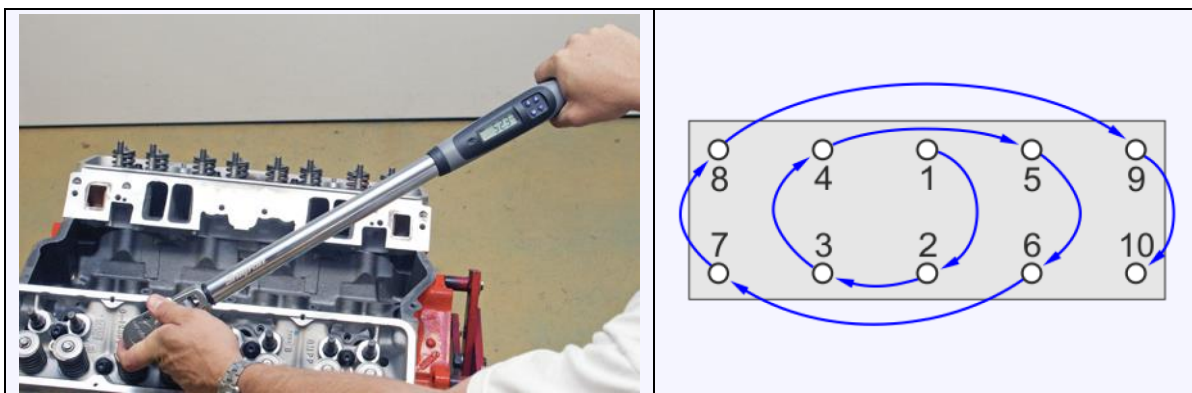
1. rastavlјiv (*mogu se rastaviti bez razaranja spojenih elemenata*),
2. nepomičan (*spojeni elementi ne mogu se uzajamno pomicati*),
3. posredni (*za spajanje osnovnih elemenata koristi se pomoćni element – vijak, matica, podloška, osigurač*),
4. tarno-oblikovni (*element za spajanje sprječava uzajamno gibanje spojenih elemenata: I. statičkim trenjem dodirnih površina elemenata i II. oblikom spoja*).
5. tehnološko mehanički (*radom obavljenim pri spajaju su dijelovi spoja elastično deformirani*).

Vijčani spojevi su najčešće korišteni rastavlјivi spojevi u strojarstvu. Prema namjeni razlikuju se:



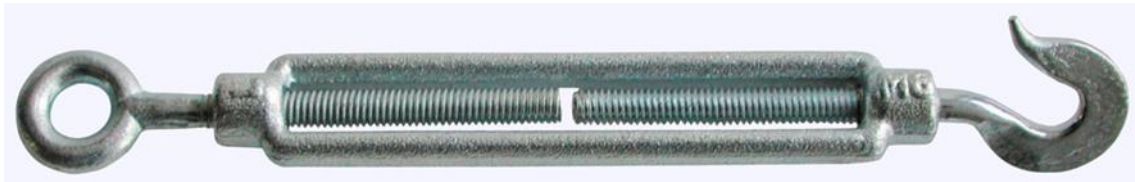
Nosivi – uzajamno povezivanje mehanički opterećenih strojnih elemenata (*S-07.03*).

Dosjedni – uzajamno pozicioniranje spajanih strojnih elemenata (*S-07.03*).



Slika 07.03 Pritezanje glave motora SUI

Zatezni – uspostavljanje potrebne sile u zateznom sklopu (*S-07.04*).



Slika 07.04 Zateznik

Prijenosni – prijenos momenta/sile uz pretvorbu kružno/pravocrtno gibanje (*obrađeni u knjizi Strojnim elementima 2*).

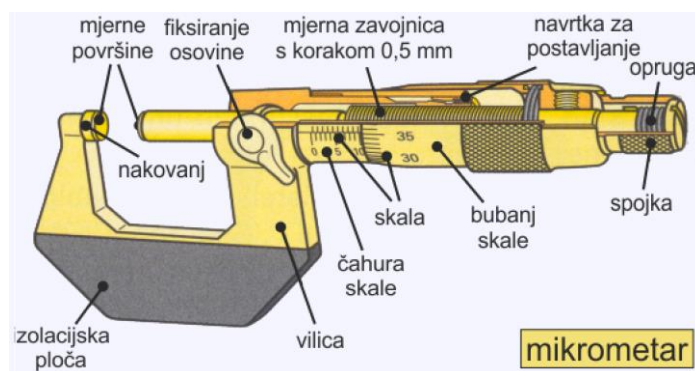
Brtveni – zatvaranje ulaznih/izlaznih otvora (*obrađeni u odjeljku 08. Statičke brtve*).

Diferencijalni – podešavanje uzajamnih položaja strojnih elemenata i sklopova (*S-07.05*).



Slika 07.05 Podešavanje zračnosti ventila SUI

Mjerni – mjerjenje dužina (*mikrometar – S-07.05*).



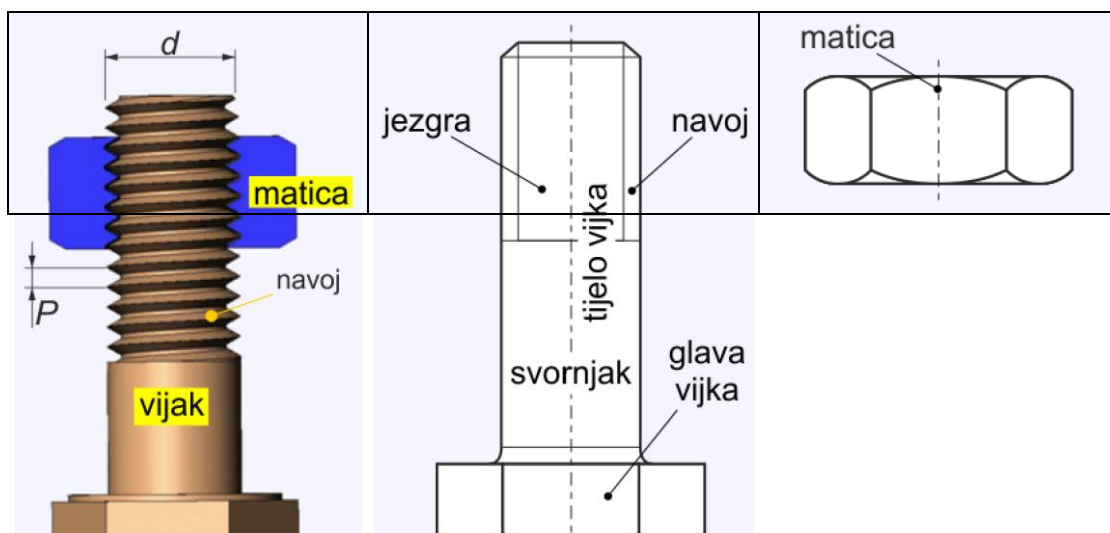
Slika 07.05 Mjerni vijčani spoj

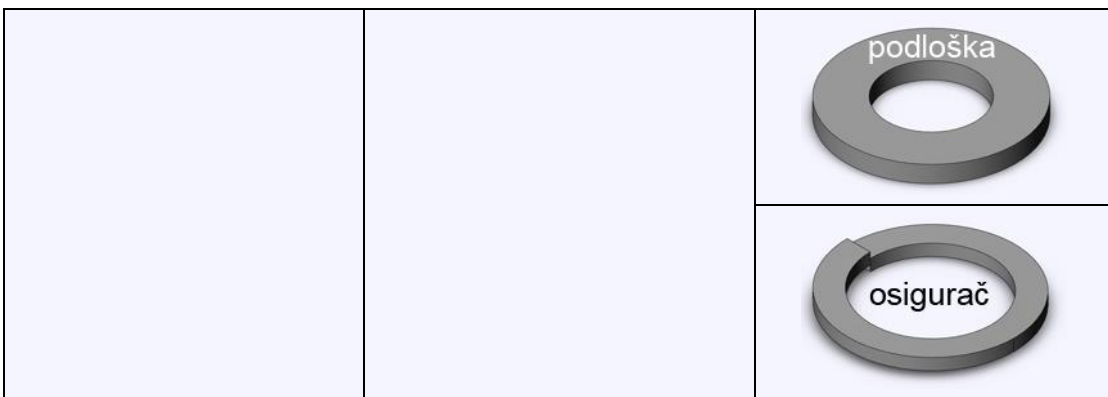
7.1.2 Struktura i nazivlje vijčanih spojeva

U vijčanom spoju se razlikuju:



Dva su osnovna spojna elementa vijčanog spoja vijak i matica (*S-07.06*).





Slika 07.06 Spojni elementi vijčanog spoja i njihovi dijelovi

Vijak – osnovni element vijčanog sklopa s vanjskim navojem (*izrađen postupcima plastične deformacije i/ili odvajanja strugotine*).

Dijelovi su vijka (**S-07.06**):

1. tijelo, koje obuhvaća:

- jezgru dijela s navojem,
- navoj,
- svornjak i
- zaobljenje na prijelazu tijelo/glava vijka

2. glava.

Matica – osnovni element vijčanog sklopa s unutarnjim navojem (*izrađen postupcima plastične deformacije i/ili odvajanja strugotine*).

Pomoći su spojni elementi vijčanog sklopa podloška i osigurač (**S-07.06**).

Podloška – pomoći spojni element vijčanog sklopa namijenjen smanjenju pritiska glave vijka na osnovni spajani strojarski element.

Osigurač – pomoći spojni element vijčanog sklopa namijenjen osiguranju od spontanog (*neželenog, izazvanog djelovanjem vanjskih utjecaja*) odvrtanja matice/vijka.

Osnovne su normirane dimenzije vijčanih spojeva (**S-07.06**):

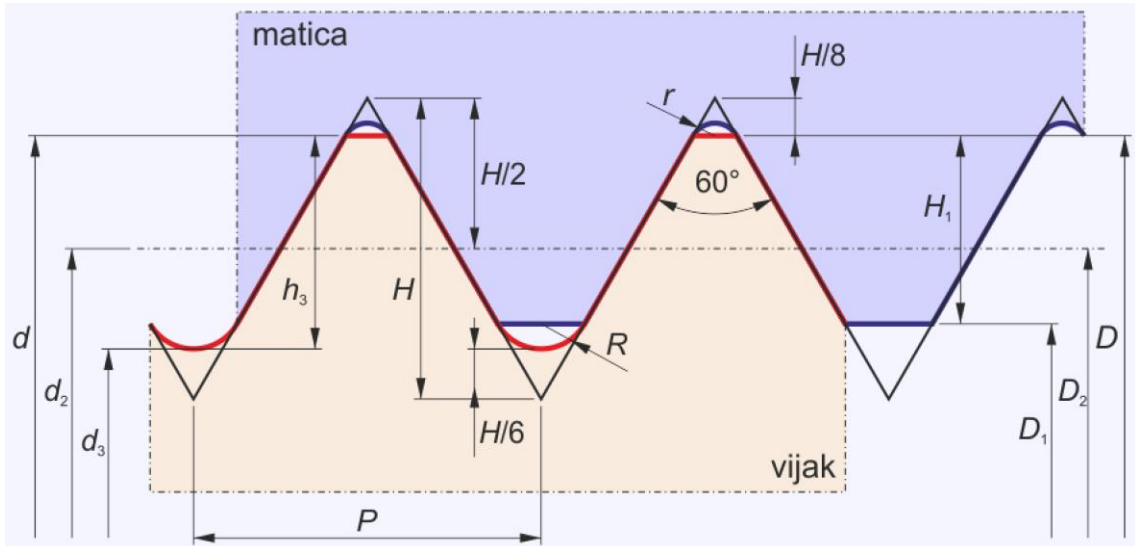
- nazivni promjer vijka, d , mm,
- korak navoja (*razmak između dva susjedna navojka*), P , mm.

Pored osnovnih normirane su i druge dimenzije vijka/matrice. Kao primjer, na sl. 07.07 prikazane dimenzije metričkog ISO navoja (*ISO 261*):

- d_2 – srednji promjer vijka, mm,
- d_3 – promjer jezgre vijka, mm,
- D_1 – promjer svjetlog otvora matice, mm,
- H_1 – nosiva dubina navoja, mm,
- h_3 – dubina navoja, mm,
- H – visina temeljnog ravnostranog trokuta profila navoja, mm,
- φ – kut profila navoja, °,

- R – polumjer zaobljenja dna profila vijka, mm,
 r – polumjer zaobljenja dna profila matice, mm.

Dimenzije ISO metričkog navoja su određene u normi ISO 724.



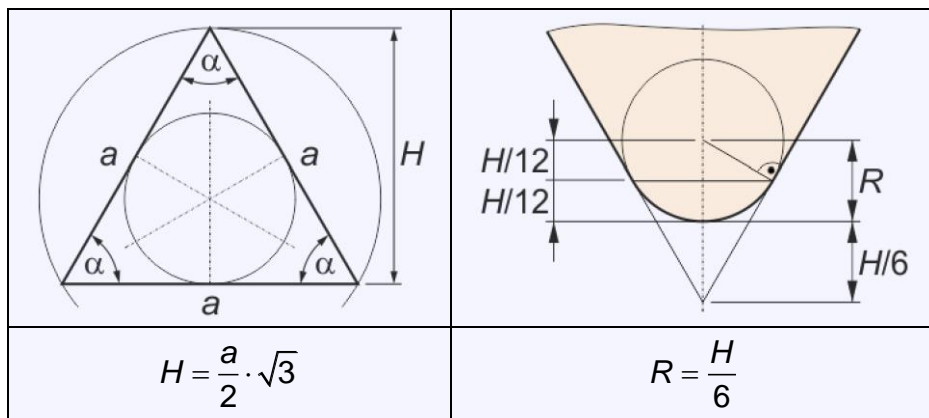
Slika 07.07 Spojni elementi vijčanog spoja i njihovi dijelovi

$$P = \text{korak} \quad D = d = \text{korak}$$

$$H = \frac{\sqrt{3}}{2} \cdot P = 0,86603 \cdot P \quad H_1 = \frac{5}{8} \cdot H = 0,54127 \cdot P \quad h_3 = \frac{17}{24} \cdot H = 0,61343 \cdot P$$

$$R = \frac{1}{6} \cdot H = 0,14434 \cdot P \quad D_2 = d_2 = d - 0,64953 \cdot P \quad D_1 = d - 2 \cdot H_1$$

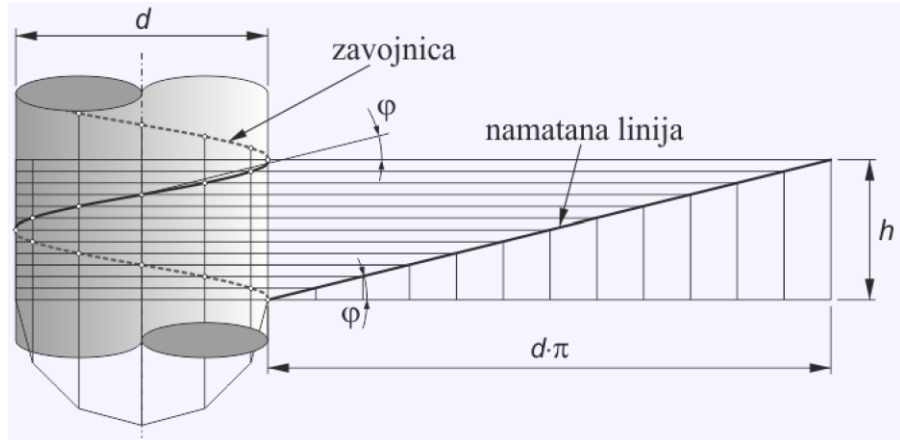
$$d_3 = d - 1,22687 \cdot P \quad A_3 = \frac{\pi}{4} \cdot d_3^2 \quad A_s = \frac{\pi}{4} \cdot \left(\frac{d_2 + d_3}{2} \right)^2$$



Slika 07.08 Detalji geometrije ISO metričkog navoja

7.1.3 Zavojnica i navoji

Zavojnica – dobiva se namatanjem kose linije oko cilindra.



Slika 07.09 Oblikovanje zavojnice (desna zavojnica)

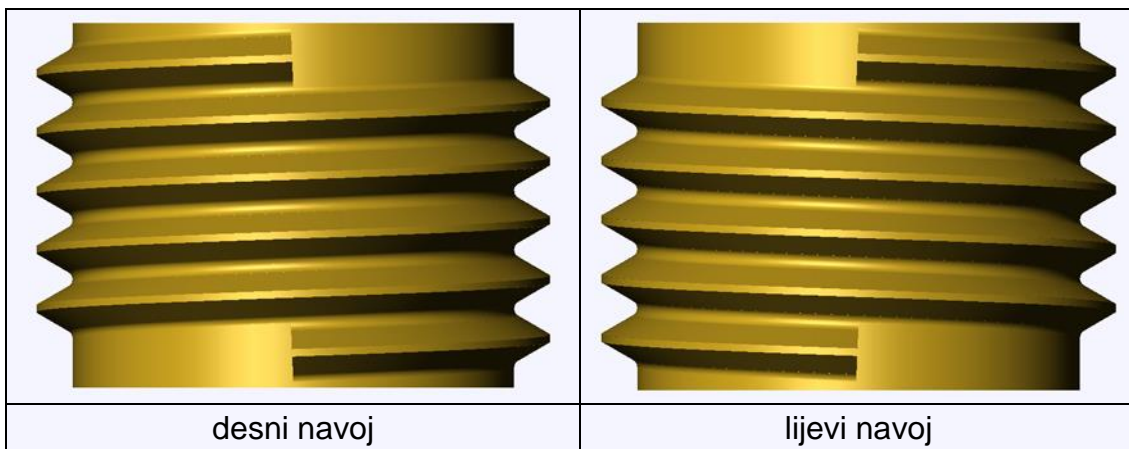
Tangens kuta zavojnice (φ):

$$\tan \varphi = \frac{h}{d \cdot \pi}$$

gdje je: h – uspon, mm,
 d – promjer cilindra, mm.

Desna se zavojnica formira namatanjem linije oko cilindra u smjeru obrnutom od kazaljke na satu (glezano s gornje strane strane cilindra – S-07.09), dok se lijeva formira namatanjem u smjeru kazaljke na satu.

Navoj – dobiva se namatanjem različitih profila duž zavojnice. Može se zamisliti kao tijelo oblikovano gibanjem geometrijskog lika duž zavojnice. Na primjer, namatanjem u izvjesnoj mjeri izmijenjenog jednakostraničnog trokuta dobiva se metrički ISO navoj (S 07.10).

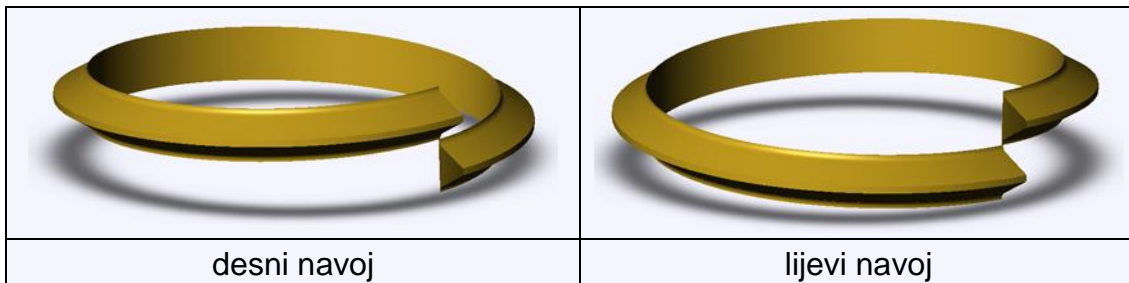


Slika 07.10 Oblikovanje navoja namatanjem profila

Na S 07.10 se opaža uspon:

- desnog navoja slijeva udesno,
- lijevog navoja sdesna ulijevo.

Navojak – dio navoja koji odgovara jednom punom krugu (S 07.11).

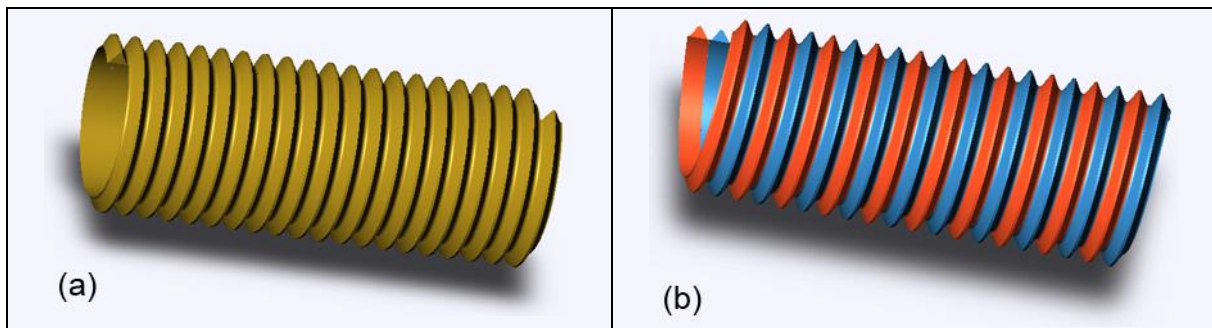


Slika 07.11 Navojak

Kod vijka s jednim navojem (*jedan početak* – S-07.12, a) uspon (P – S-07.06 i S-07.07) jednak je koraku (h – S 07.06), a kod vijaka s više navoja (*dva početka* – S 07.07, b) uspon je veći od koraka razmjerno broju navoja.

$$h = n \cdot P$$

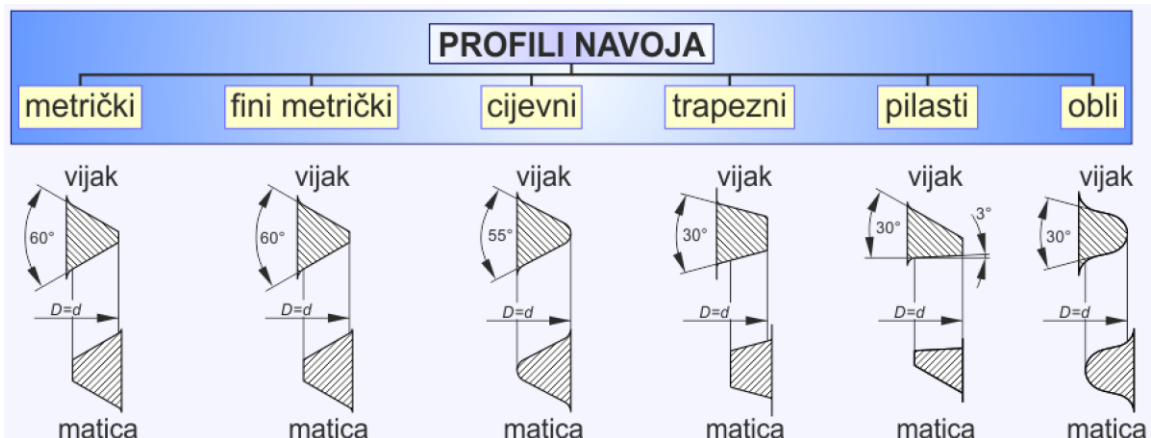
gdje je: n – broj navoja, 1.



Slika 07.12 Navoj sa: (a) jednom i (b) dvije zavojnice

Navoj je najvažniji dio vijka/matrice – preko navoja se uspostavlja vijčani spoj i prenose opterećenja.

Prema profilu navoja razlikuju se:



Metrički ISO navoj ima za osnovu profil jednakostraničnog trokuta (*S-07.07*).

U normi DIN 13 razlikuju se:



Normalni metrički navozi označavaju se slovom M koje slijedi nazivni promjer navoja d u mm, npr. M 20.

Kod finih metričkih navoja uz oznaku se još dodaje i veličina koraka P u mm, npr. M 20×1,5 (*metrički navoj nazivnog promjera 20 mm s korakom 1,5 mm*).

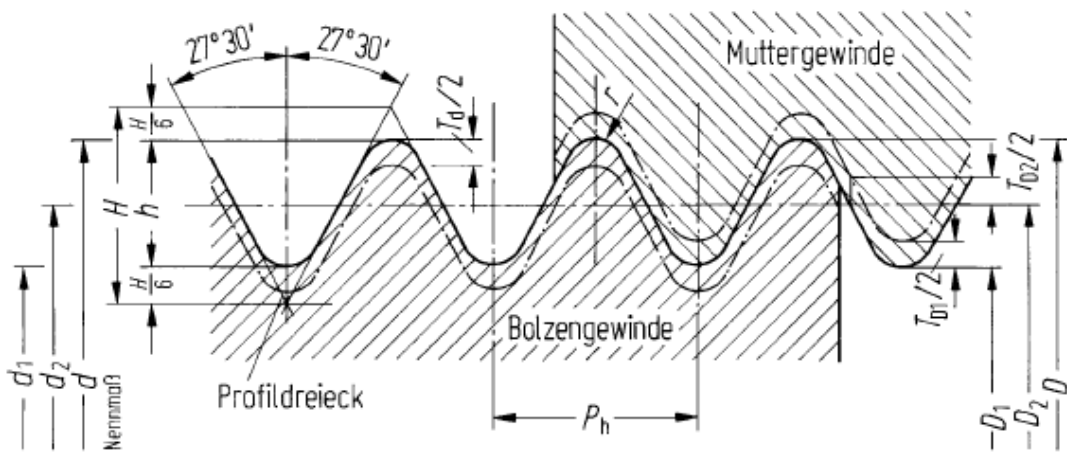
Ako se radi o lijevom navoju, označi navoja dodaje se i međunarodna oznaka LH, npr. M 20×1,5 LH (*metrički navoj nazivnog promjera 20 mm s korakom 1,5 mm s lijevim navojem*).

Whitworthov cjevni navoj ima profil jednakostraničnog trokuta s kutom $\beta = 55^\circ$.

Zbog mogućnosti dobrog brtvljenja upotrebljavaju se za spajanje cijevi vodovodnih ili plinskih instalacija i raznih armatura.

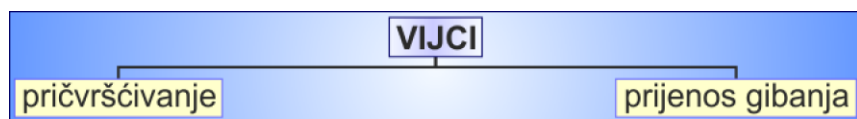
Normiran je u ISO 228, DIN 2999 i DIN 3858.

Nazivni promjer cjevnog navoja slaže se s unutarnjim promjerom cijevi. Označuje se slovom R i nazivnim promjerom u colima, npr. **R 1/2"**.



7.1.4 Vrste i označavanje vijaka i matica

Prema namjeni vijčani spojevi dijele se u dvije osnovne grupe:



Prema gibanju vijčani spojevi dijele se u dvije grupe:



Kod statičkih se vijčanih spojeva tijekom uporabe elementi spoja uzajamno ne gibaju (*pritezni vijčani spoj, zatezni vijčani spoj*) a kod dinamičkih gibaju (*vijčani prijenosnik*).

U *Elementima strojeva 1* su obrađeni vijci za pričvršćivanje dok su vijci za prijenos giba u *Elementima strojeva 2*.

7.1.5 Osnovna svojstva vijčanih spojeva

Materijal od kojeg se izrađuju vijci matice uglavnom je žilav čelik. Kvaliteta čelika za vijke označava se s dva broja:

- prvi broj označava minimalnu vlačnu čvrstoću/100
- drugi broj označava omjer minimalne granice tečenja i minimalne vlačne čvrstoće a kvaliteta čelika za izradu matica s jednim brojem – minimalna vlačna čvrstoća/100.

Vijci \Rightarrow	4.6	4.8	5.6	5.8	6.6	6.8	6.9	8.8	10.9	12.9	14.9
R_m	400	400	500	500	600	600	600	800	1000	1200	1400
$R_e/R_{p0,2}$	240	320	300	400	360	480	540	640	900	1080	1260
Matice \Rightarrow	4		5		6		8	10	12	14	

Primjer:

$$\text{6.8} \quad R_m/100 = 600/100 = 6$$

$$R_e/R_m = 480/600 = 0.8$$

Materijal od kojeg se izrađuju vijci matice uglavnom je žilav čelik. Kvaliteta čelika za vijke označava se s dva broja:

- prvi broj označava minimalnu vlačnu čvrstoću/100
- drugi broj označava omjer minimalne granice tečenja i minimalne vlačne čvrstoće

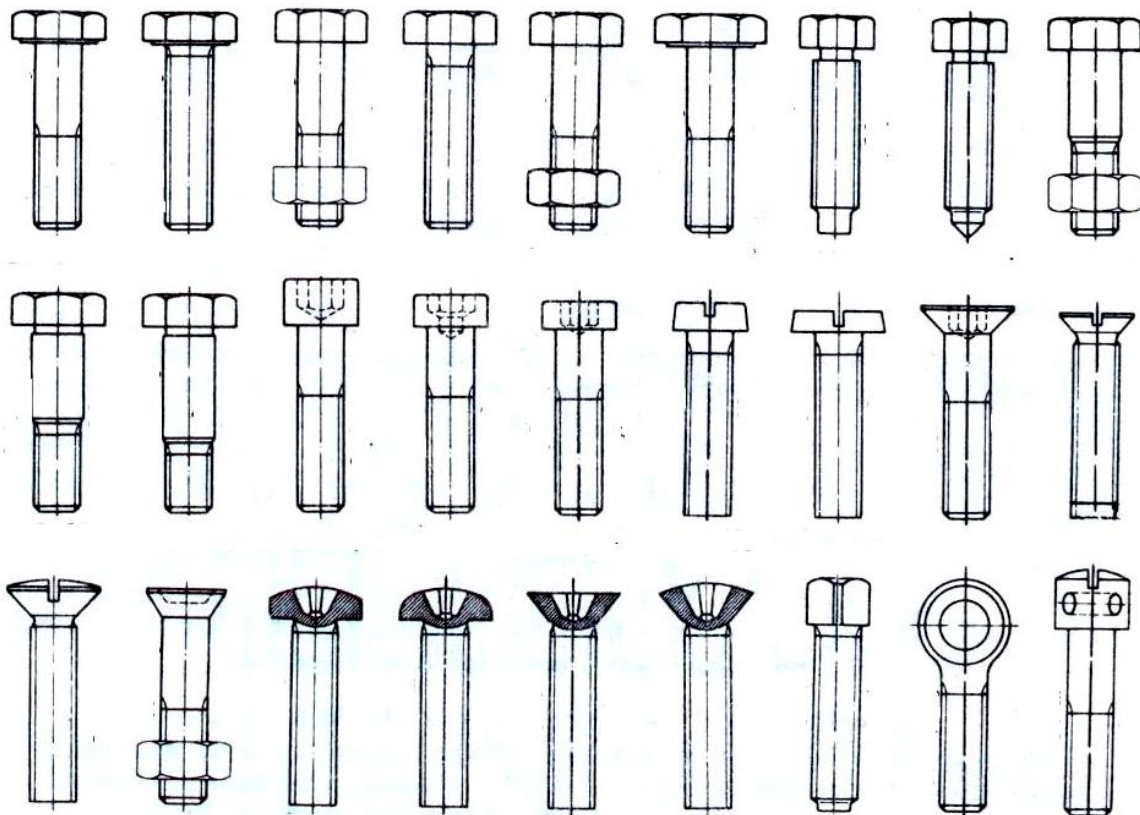
a kvaliteta čelika za izradu matica s jednim brojem – minimalna vlačna čvrstoća/100.

Vijci \Rightarrow	4.6	4.8	5.6	5.8	6.6	6.8	6.9	8.8	10.9	12.9	14.9
$R_m, N/mm^2$	400	400	500	500	600	600	600	800	1000	1200	1400
$R_e/R_{p0,2}$	240	320	300	400	360	480	540	640	900	1080	1260
Matice \Rightarrow	4		5		6		8	10	12	14	

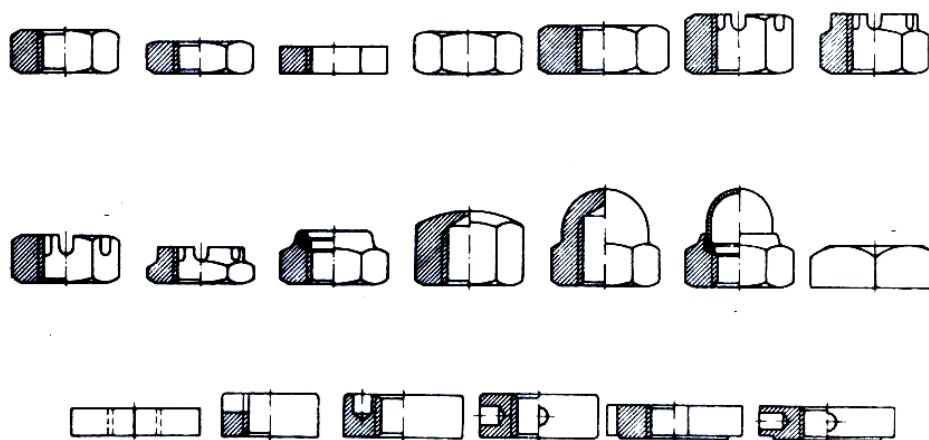
Primjer:

$$6.8 \quad 6 \quad \Rightarrow \quad R_m / 100 = 600/100 = 6$$

$$8 \quad \Rightarrow \quad R_e/R_{p0,2} = 480/600 = 0,8$$



Visina maticice za normalni navoj je $m \approx 0,8 \cdot d$.



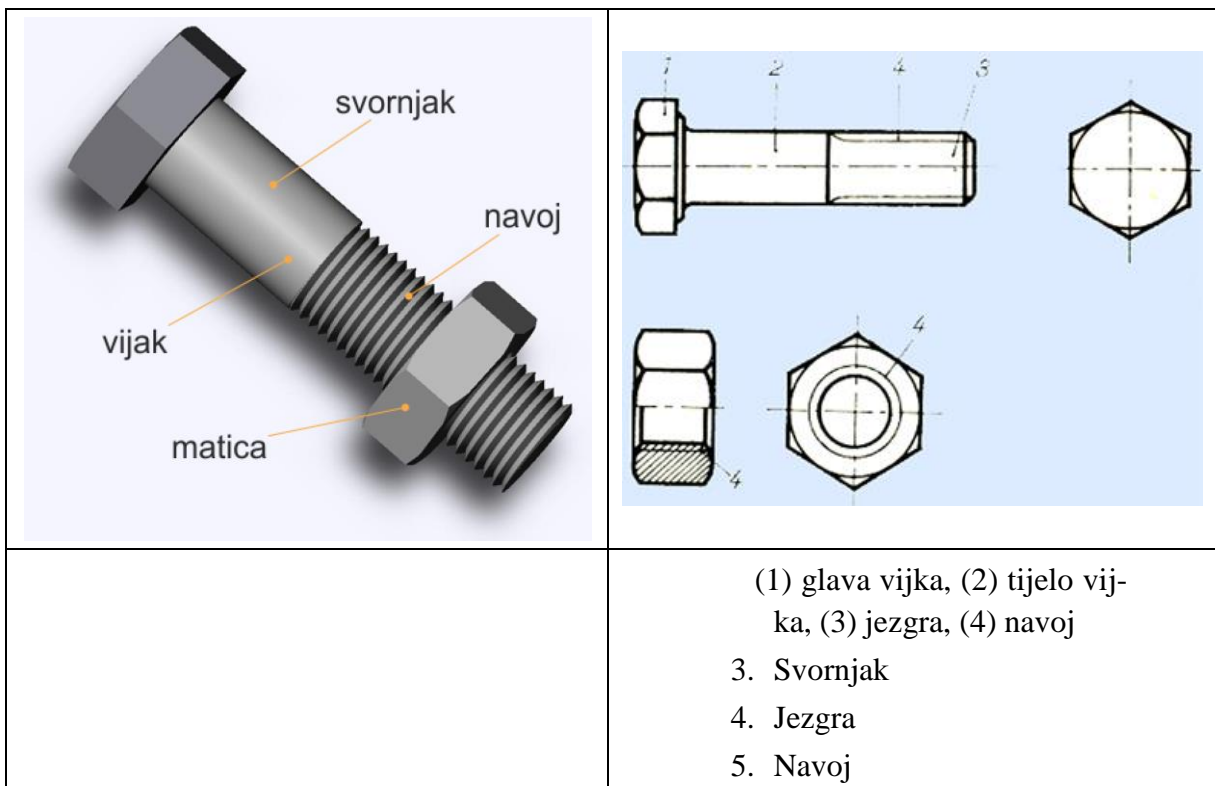
7.2 Sistematisacija vijčanih spojeva

7.2.1 Nazivlje vijčanih spojeva

Navoj – dio vijka/matrice spoja koji se dobiva na temelju zavojnice (*prostorna geometrijska krvulja*) i ima prikladan oblik poprečnog presjeka (*usvojeni geometrijski lik*).

Zavojnica – krivulja koja se dobije obavljanjem kosog pravca oko cilindra. Smjer obavljanja pravca može biti desni – desna zavojnica (*cilindar rotira u smjeru kazaljke na satu*) ili lijevi – lijeva zavojnica (*cilindar rotira u smjeru obrnutom od kazaljke na satu*). Konusna se zavojnica dobiva obavljanjem kosog pravca oko konusa.

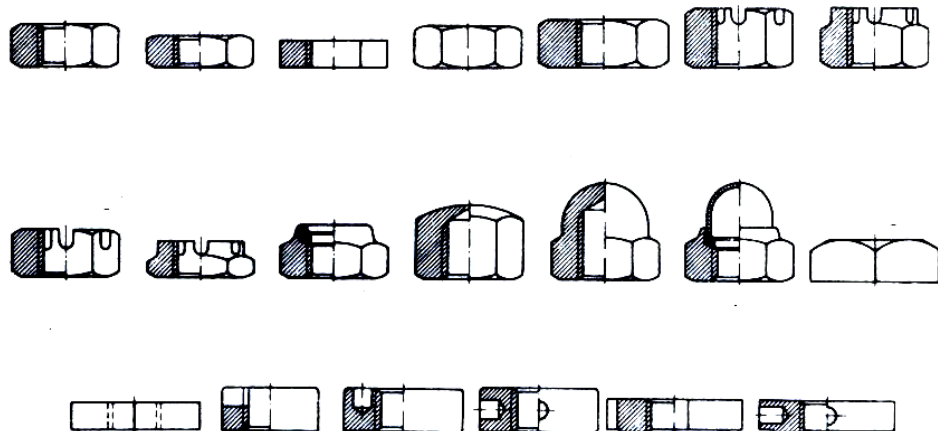
Korak zavojnice, P , mm – udaljenost dvije susjedne točke zavojnice na pravcu presjeka ravnine postavljene kroz os cilindra (*konusa*) i oplošja cilindra (*konusa*). Dio zavojnice između tih točaka se naziva navojkom.



7.2.2 Vrste i primjeri elemenata vijčanih spojeva

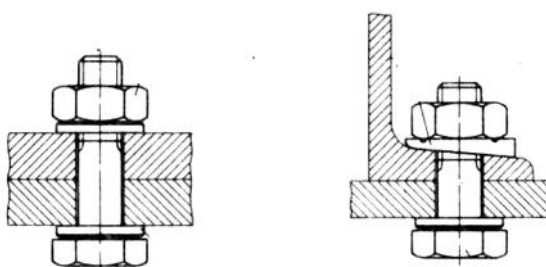
Matice

Visina matice za normalni navoj je $m \approx 0,8 \cdot d$.



Podloške i osigurači vijčanih spojeva

Podložne pločice – strojni elementi koji se stavljuju ispod matica i glave vijaka kad njihov pritisak treba raspodijeliti na veću površinu, kada treba izbjegići trenje na naliježnu površinu ili kada je dosjedna površina hrapava. Izrađuju se od čelika, aluminija, bakra, mesinga i bronce.

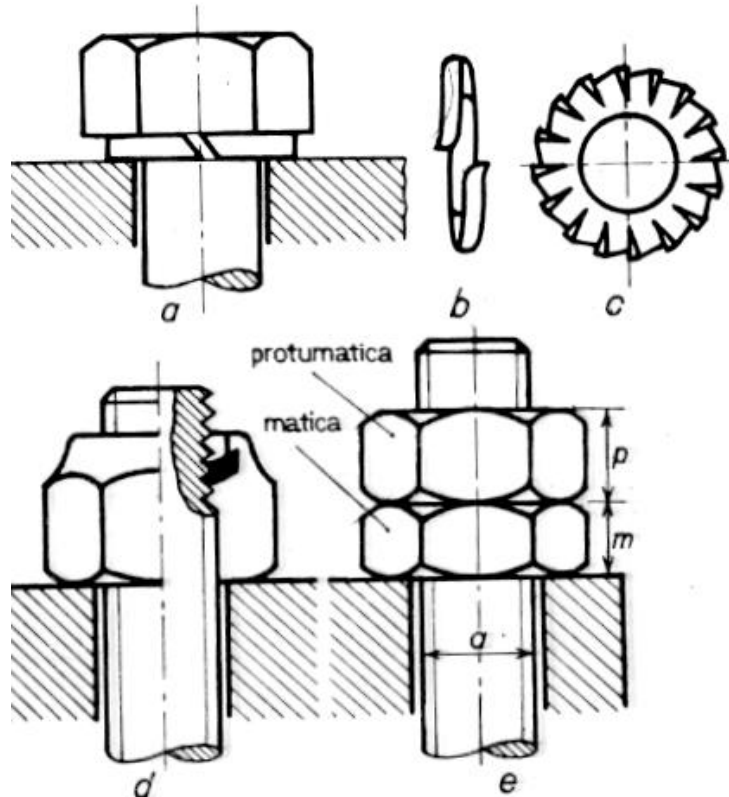


Elementi za osiguranje vijčanih spojeva – Pri mirnom opterećenju i samokočnom vijku ne postoji opasnost od odvrtanja vijčanog spoja. Pri dinamičkim opterećenim vijčanim spojevima, samokočnost nije dovoljan uvjet da se spoj osigura. Takvi se vijci moraju posebno osiguravati.

Prema načinu osiguranja dijele se na:

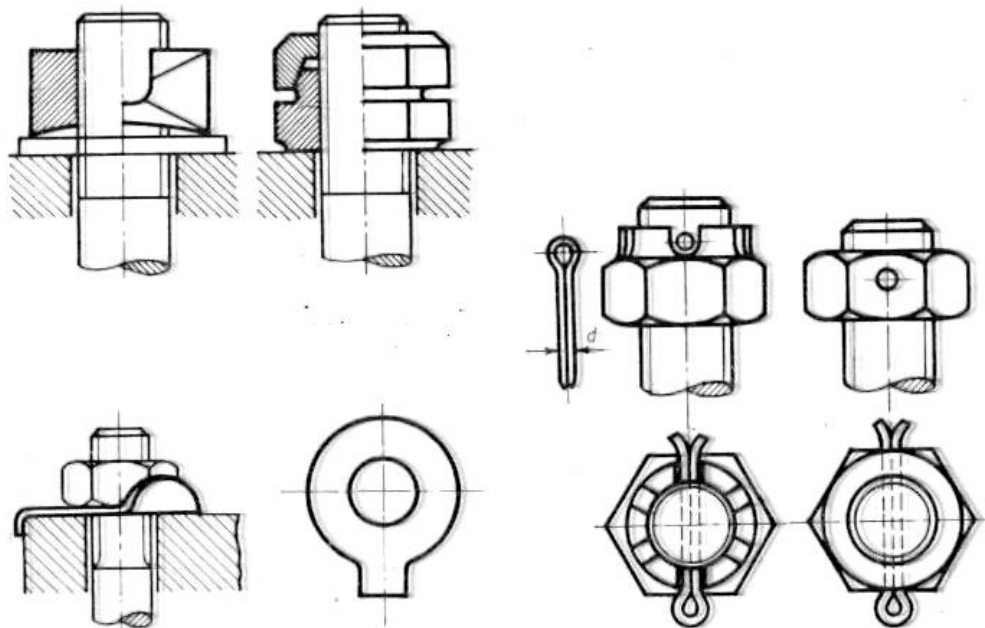
- (a) osiguranje silom
- (b) osiguranje oblikom

Elementi za osiguranje silom – dinamičko opterećenje smanjuje aksijalnu silu u vijke, koja je nastala njegovim pritezanjem. Elementima za osiguranje povećava se aksijalna sila u vijke.



- a) i b) elastične podloške
- c) Ozubljena prstenasta podloška
- d) Prsten od plastike umetnut u maticu
- e) Matica s protumaticom

Elementi za osiguranje vijčanog spoja oblikom – jednostavan način osiguranja



- (a) Samokočne matice
 (b) Podloška s produžetkom
 (c) Rascjepka

7.2.3 Vrste i primjeri zavrtanja

7.2.4 Vrste i primjeri vijčanih spojeva

Prema namjeni razlikuju se:



Nosivi – uzajamno povezivanje strojnih dijelova izloženih različitim opterećenjima.

Dosjedni – centriraju spojene dijelove i dobro podnose smična opterećenja.

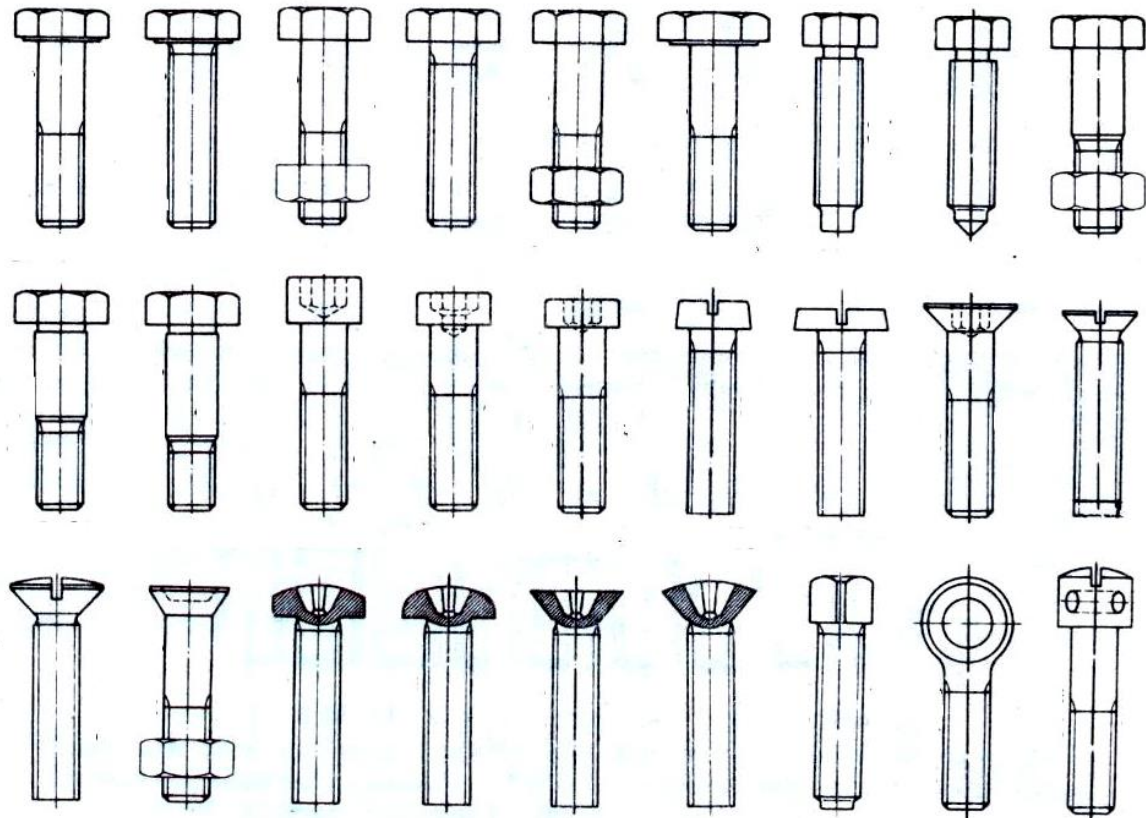
Pokretne – za prijenos i pretvorbu kružnog/pravocrtnog gibanja.

Zatezni – za zatege s jednim ili dva vijka (*kod zatega s dva vijka jedan vijak ima lijevi, a drugi desni navoj*).

Brtveni – zatvaranje ulaznih i izlaznih otvora posebno oblikovanim dijelovima.

Diferencijalni – podešavanje višedijelnih elemenata i sklopova.

Mjerni – mjerjenje dužina kod mikrometara.



7.2.5 Osnovna svojstva vijčanih spojeva

7.3 Usvajanje vijčanih spojeva

oblikovanje + primjeri
proračun + primjeri
loša i dobra rješenja
prednosti i nedostaci
primjeri

7.3.1 Zahtjevi vijčanih spojeva

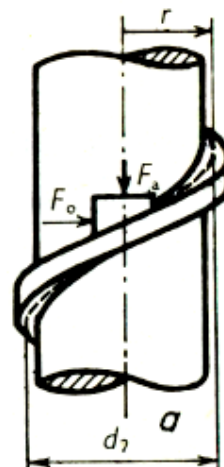
7.3.2 Oblikovanje vijčanih spojeva

Pogreške u oblikovanju vijčanih spojeva

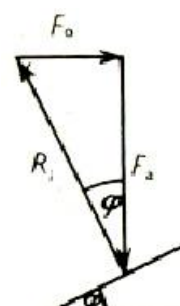
Primjeri oblikovanja vijčanih spojeva

7.3.3 Proračun vijčanih spojeva

Treba zamisliti gibanje tijela, koje predstavlja maticu, po zavojnici.



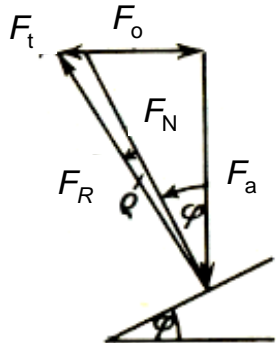
Pri dizanju tijela obodna sila F_o savladava aksijalnu silu F_a kojom tijelo pritiska navoj. Bez trenja



$$F_o = F_a \cdot \tan \varphi$$

Trokut sila pri dizanju uz trenje

Trokut sila pri dizanju uz trenje



Realni slučaj – postoji trenje između tijela i navoja

Normalna sila

$$F_N = F_a \cos \rho$$

ρ - kut trenja

μ - koeficijent trenja

Sila trenja

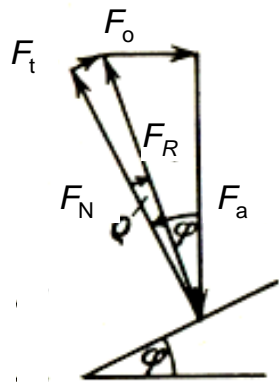
$$F_t = F_a \sin \rho = \mu F_N$$

Koeficijent trenja

$$\mu = \frac{\sin \rho}{\cos \rho} = \tan \rho$$

$$\rho = \arctan \mu$$

Trokut sila pri spuštanju uz trenje



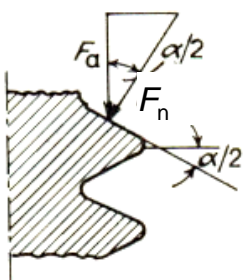
Da međusobno pomicanje vijka i matice ne bi počelo samo od sebe, tj. vijak mora biti **samokočan**, uvjet je da:

$$\varphi < \rho$$

$$F_o = F_a \tan(\varphi + \rho) \quad \text{Za dizanje matice}$$

$$F_o = F_a \tan(\varphi - \rho) \quad \text{Za spuštanje matice}$$

Pojava na vijcima s trokutastim profilom – zbog nagiba navoja, umjesto sa silom F_a potrebno je računati sa silom F_n :



$$F_n = F_a \cos \frac{\alpha}{2}$$

Radi toga potrebno je sve izvedene formule koristiti s reduciranim kutom trenja odn. reduciranim koeficijentom trenja:

$$\mu' = \tan \rho' \approx \frac{\tan \rho}{\cos \frac{\alpha}{2}}$$

Stupanj iskoristivosti vijka je:

$$\eta = \frac{\text{korisni rad}}{\text{uloženi rad}} = \frac{F_a \cdot P}{F_o \cdot d_2} = \frac{\tan \varphi}{\tan(\varphi + \rho)}$$

Samokočni vijak ima $\eta \leq 0,5$

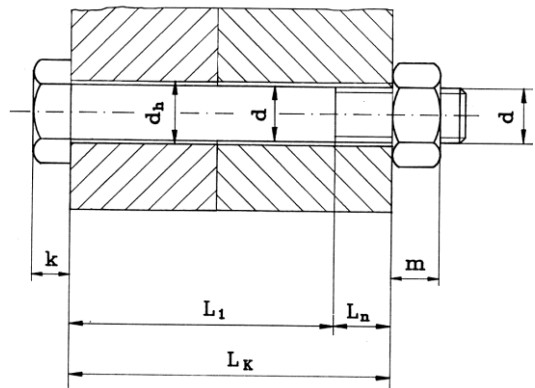
ODNOS SILA I DEFORMACIJA U PREDNAPREGNUTIM VIJČANIM SPOJEVIMA

$$\sigma = E \varepsilon$$

$$\frac{F}{A} = E \frac{\Delta l}{l}$$

$$\delta = \frac{\Delta l}{F} = \frac{l}{EA}$$

$$c = \frac{1}{\delta} = \frac{EA}{l}$$



δ - mm/N – podatljivost elementa

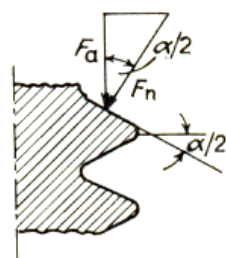
c - N/mm - krutost elementa

Δl - mm promjena dužine (+rastezanje, -skraćenje)

l – mm - dužina prije deformacije

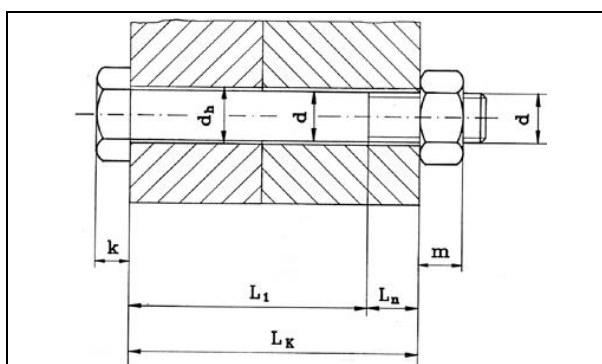
E - N/mm² - modul elastičnosti materijala

A - mm² - površina poprečnog presjeka



$$\tan \varphi = \frac{P}{d \cdot \pi}$$

$$F_n = F_a \cos \frac{\alpha}{2}$$



$$\sigma = E \cdot \varepsilon$$

$$\frac{F}{A} = E \cdot \frac{\Delta L}{L}$$

$$\delta = \frac{\Delta l}{F} = \frac{l}{E \cdot A}$$

$$c = \frac{1}{\delta} = \frac{E \cdot A}{l}$$

Vijci obično po dužini imaju različite presjeke A_i različitih dužina l_i , dakle promjenljivu podatljivost δ_V . Prilikom određivanja ukupne podatljivosti vijka δ_V mora se, osim podatljivosti tijela vijka uzimati u obzir i podatljivost sudjelujućih dijelova glave vijka δ_G i matice δ_M koji se uvrće (ili dijela u kojega je vijak uvrnut), koji također podnose opterećenje, te se pri tome elastično deformiraju. Budući da se dijelovi vijka različitih presjeka različito deformiraju, a ukupna deformacija je jednaka zbroju deformacija pojedinih dijelova, podatljivost vijka δ_V dobije se iz izraza:

$$\delta_V = \sum \delta_i = \sum \frac{l_i}{E_V A_i} = \frac{1}{E_V} \left(\frac{l_G}{A_N} + \frac{l_1}{A_1} + \frac{l_2}{A_2} + \dots + \frac{l_3}{A_3} + \frac{l_G}{A_G} + \frac{l_M}{A_N} \right)$$

δ_i - N/mm - podatljivost pojedinog dijela tijela vijka

l_i - mm - dužine pojedinih dijelova tijela vijka s konstantnim presjekom A_i

A_i - mm² - površina pojedinih presjeka tijela vijka dužine l_i

A_N - mm² - površina sudjelujućeg presjeka glave vijka i matice

A_3 - mm² - presjek naprezanja navoja vijka

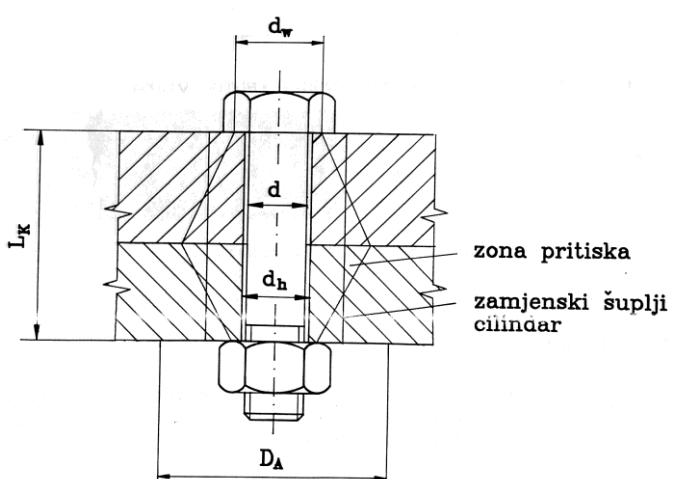
l_G - mm - dužina dijela vijka uvrnutog u maticu; $l_G \approx 0,5 \cdot d$

A_G - mm² - površina jezgre navoja vijka uvrnutog u maticu

l_M - mm - visina sudjelujućeg dijela matice; $l_M = l_G \approx 0,4 \cdot d$

Podatljivost / krutost spajanih strojnih dijelova

Teže je odrediti elastičnosti spajanih strojnih dijelova (podloge), s obzirom da se deformira, tj. učestvuje u prenošenju opterećenja, samo dio njihovog volumena koji je približno oblika krnjeg stošca. Radi praktičnijeg izračuna, praksa je da se ovaj volumen aproksimira zamjenskim šupljim cilindrom.



$$\delta_P = \frac{l_K}{A_P E_P}$$

Neopterećeni prednapregnuti vijčani spoj

Nakon pritezanja vijčanog spoja, spajani dijelovi se skraćuju Δl_p , a istovremeno se vijak rasteže za Δl_v , uslijed reakcijske sile prednaprezanja F_{pr} , kojom podloga djeluje na maticu, a ova preko svog navoja na navoj vijka. Zbog toga aksijalna sila u vijku iznosi $F_v = F_{pr}$. Istovremeno su zbog ravnoteže spajani dijelovi međusobno pritisnuti jednakom silom.

Rastezanje vijka pri sili pritezanja iznosi:

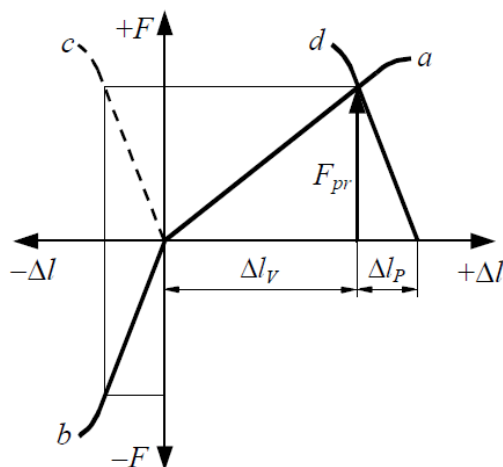
$$\Delta l_v = \frac{F_v}{c_v}$$

A skraćenje podloge pri sili pritezanja:

$$\Delta l_p = \frac{F_v}{c_p}$$

Proces deformacije prednapregnutoog vijčanog spoja može se bolje opisati *dijagramom deformacije prednapregnutog vijčanog spoja* u kojega se ucrtavaju karakteristike vijka (linija a) i spajanih dijelova (linija b), odnosno omjer između sile F i deformacije Δl za pojedini element.

Radi lakšeg daljnog razmatranja procesa u prednapregnutom vijčanom spoju, karakteristika podloge se pomiče iz položaja c u položaj d,



Prednapregnuti vijčani spoj opterećen statičkom aksijalnom radnom silom

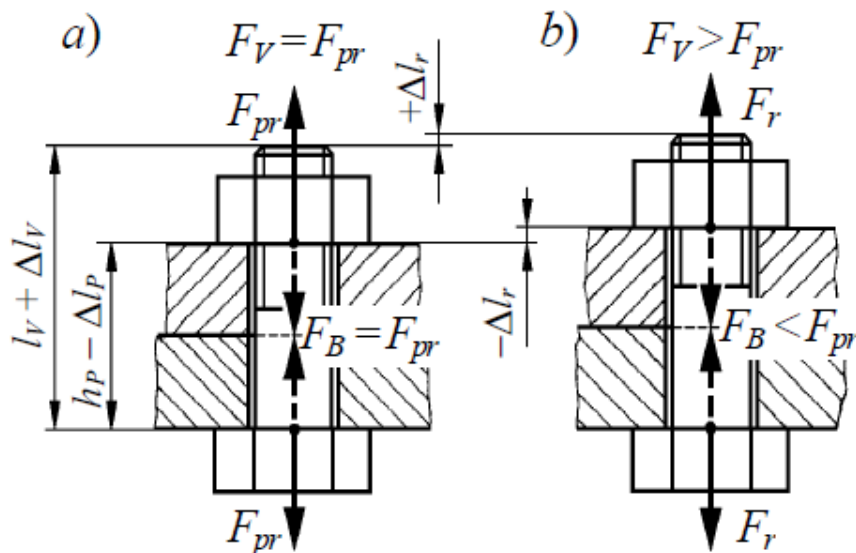
Odnose u prednapregnutom vijčanom spoju, dodatno opterećenom statičkom aksijalnom radnom silom F_r , najlakše je pojasniti ako se najprije prepostavi da je hvatište radne sile na vanjskoj površini spajanih strojnih dijelova, što je u praksi vrlo rijetko.

Pod djelovanja statičke vlačne radne sile F_r , vijak je dodatno vlačno opterećenjem zbog čega je sila u vijku $F_V > F_{pr}$, a istovremeno se pritezani dijelovi rasterećuju po čitavoj deblji. Radnu силу F_r vijak ne preuzima u cijelosti, nego se ona dijeli na dodatnu силу u vijku F_{rV} , koja uzrokuje dodatno rastezanje vijka Δl_r , te na rasterećivanje spajanih dijelova F_{rP} , koje uzrokuje smanjenje skraćenja za Δl_P i slabljenje sile brtvljenja $F_B = F_{pr} - F_{rP}$.

Ukupna sila u vijku tako iznosi:

$$F_V = F_{pr} + F_{rV}.$$

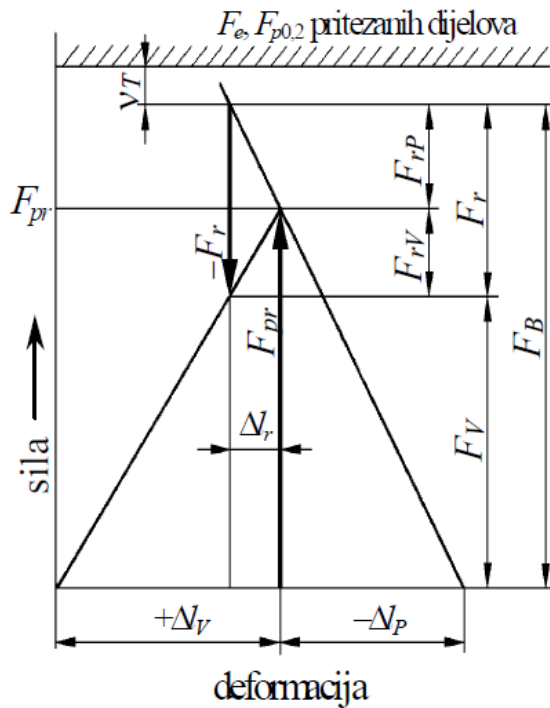
Nakon prestanka djelovanja radnog opterećenja, u vijčanom spoju se opet uspostavlja prvo bitno stanje.



Odnosi u prednapregnutom vijčanom spoju opterećenom statičkom tlačnom radnom silom F_r

- a) neopterećeni vijčani spoj s prednaponom
- b) dodatno opterećenje tlačnom silom $-F_r$

Deformacijski dijagram vijčanog spoja



$$c_V = \frac{F_{pr}}{\Delta l_V} = \frac{F_{rV}}{\Delta l_r}$$

$$c_P = \frac{F_{pr}}{\Delta l_P} = \frac{F_{rP}}{\Delta l_r}$$

$$F_r = F_{rV} + F_{rP}$$

Dodatna sila u vijke je:

$$F_{rV} = F_r \frac{1}{1 + \frac{c_P}{c_V}} = F_r \Phi$$

F_{rV} - N - dodatno aksijalno opterećenje vijke

F_r - N - statično aksijalno radno opterećenje prednapregnutog vijčanog spoja

c_P - N/mm - krutost spajanih strojnih dijelova

c_V - N/mm - krutost vijke

Φ - omjer sile; $\Phi = F_{rV} / F_r$

$\Phi = \Phi_F = 1 / (1 + c_P/c_V)$ za hvatište radne sile na vanjskoj površini spajanih dijelova

$\Phi = k_F \cdot \Phi_F$ za hvatište radne sile po unutar spajanih dijelova

Iz gornjih izraza vidi se kako dodatno opterećenje vijke F_{rV} opada s povećanjem krutosti spajanih dijelova c_P smanjenjem krutosti vijke c_V .

$$F_{Vsr} = F_{V\max} - F_a$$

Najveće opterećenje vijka je:

$$F_{V\max} = F_{pr} + F_{rV\max}$$

dok je najmanja sila brtvljenja jednaka:

$$F_{B\min} = F_{V\max} - F_{r,\max}$$

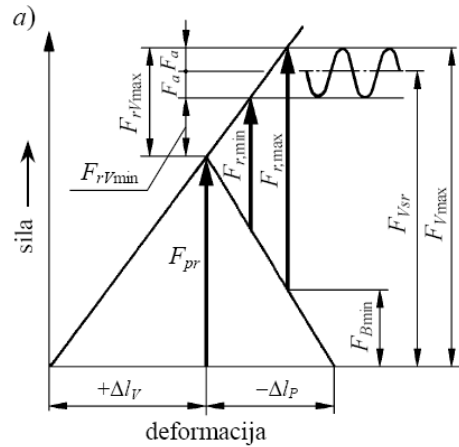
Najveće opterećenje vijka je:

$$F_{V\max} = F_{pr} + F_{rV\max}$$

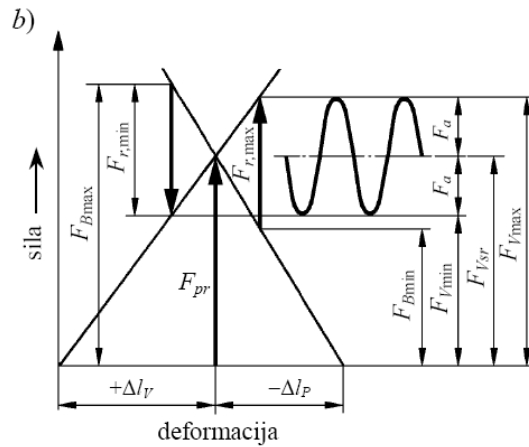
dok je najmanja sila brtvljenja jednaka:

$$F_{B\min} = F_{V\max} - F_{r,\max}$$

Deformacijski dijagrami dinamički opterećenih prednapregnutih vijčanih spojeva



a) pulzirajuće vlačno opterećenje

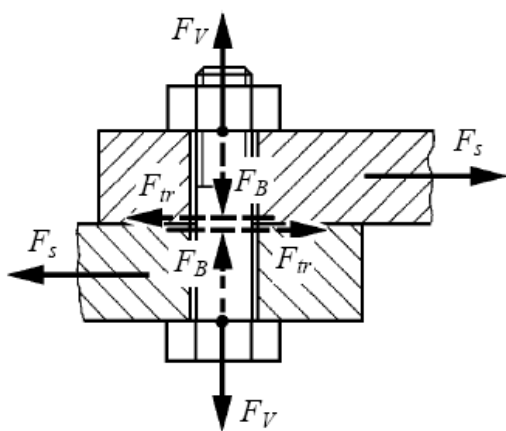


b) naizmjenično promjenjivo opterećenje

Prednapregnuti vijčani spoj opterećen poprečnom silom

S obzirom da su u prednapregnutim vijčanim spojevima spajani dijelovi međusobno pritisnuti silom brtvljenja F_B , silom trenja koja se stvara između naliježnih površina može se prenosi staticka ili dinamička poprečna sila F_s . Ako prednapregnuti vijčani spoj prenosi samo poprečnu silu, tada je sila brtvljenja (normalna sila) jednaka sili prednaprezanja $F_B = F_V$.

Sila trenja mora uvijek ispunjavati uvjet:



$$F_{tr} = F_B \frac{n \mu}{\nu_K} \geq F_s$$

F_{tr} – N - sila trenja među površinama spajanih dijelova

F_B – N - normalna sila brtvljenja

n - broj tarnih površina

μ - koeficijent trenja među površinama spajanih dijelova

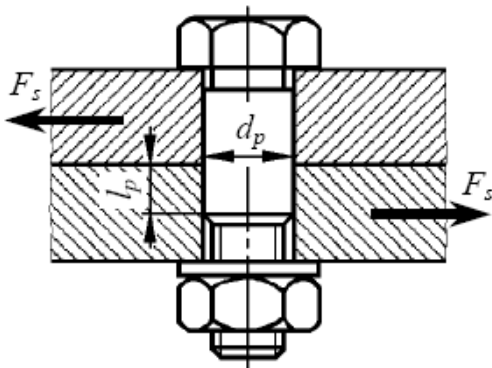
F_s - N - poprečna sila

ν_K - sigurnost protiv proklizavanja:

$\nu_K \approx 1,3$ za staticko opterećenje

$\nu_K \approx 1,5$ za dinamičko opterećenje

Vijčani spojevi s dosjednim vijkom



Smično naprezanje u dosjednom vijke mora zadovoljiti uvjet:

$$\tau_s = \frac{F_s}{m A_p} = \frac{4 F_s}{m \pi d_p^2} \leq \tau_{s,dop}$$

τ_s - N/mm² - naprezanje vijka na smik

F_s - N - poprečna sila

m - broj ravnina smicanja vijka

A_p - mm² - presjek dosjednog dijela vijka

d_p - mm - promjer dosjednog dijela vijka

$\tau_{s,dop}$ - N/mm² - dopušteno naprezanje vijka na smik

$\tau_{s,dop} \approx 0,6 \cdot R_e$ kod statičkog opterećenja

$\tau_{s,dop} \approx 0,5 \cdot R_e$ kod istosmjernog dinamičkog opterećenja

$\tau_{s,dop} \approx 0,4 \cdot R_e$ kod izmjeničnog dinamičkog opterećenja

Površinski pritisak između dosjednog vijka i spajanih strojnih dijelova kontrolira se pomoću izraza:

$$p = \frac{F_s}{A_{proj}} = \frac{F_s}{d_p l_p} \leq p_{dop}$$

p - N/mm² - površinski pritisak između dosjednog vijka i spajanih strojnih dijelova

F_s - N - opterećenje vijka na smik

A_{proj} - mm² - normalna projekcija površine dodira,

d_p - mm - promjer dosjednog dijela vijka

l_p - mm - najkraća dodirna dužina dosjednog dijela vijka i strojnog dijela

p_{dop} - N/mm² - dopušteni površinski pritisak spajanih strojnih dijelova

$p_{dop} = 1,2 \cdot R_e$ ili $0,75 \cdot R_m$ pri statičkom opterećenju

$p_{dop} = 0,9 \cdot R_e$ ili $0,60 \cdot R_m$ pri dinamičkom opterećenju

R_e - N/mm² - granica tečenja materijala vijka ili strojnih dijelova

R_m - N/mm² - vlačna čvrstoća materijala vijka ili strojnih dijelova

7.3.4 Primjeri usvajanja vijčanih spojeva

7.3.5 Norme vijčanih spojeva

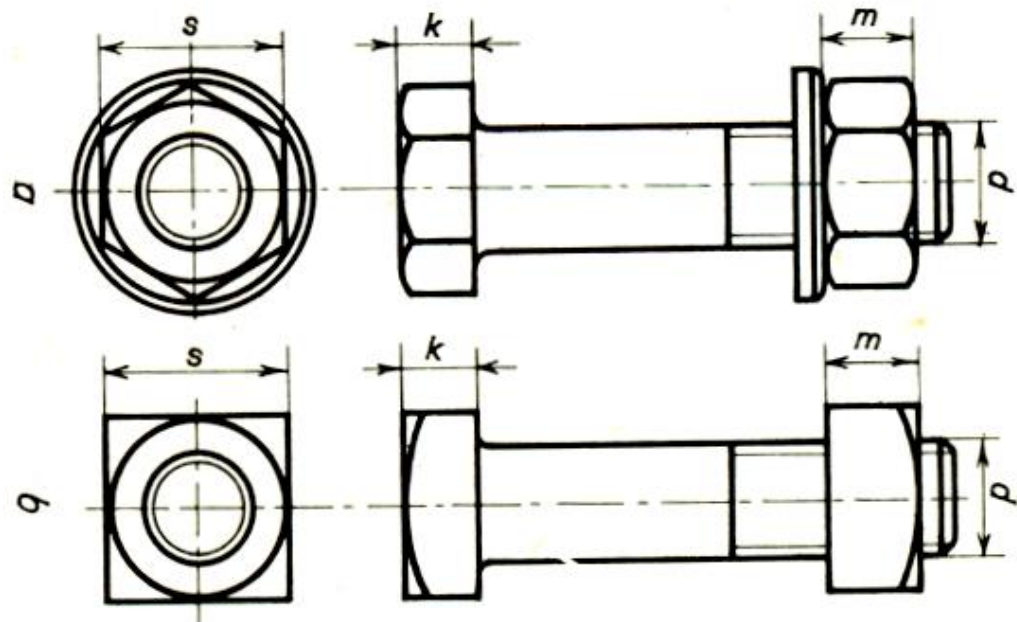
7.3.6 Kontrolni proračun vijčanih spojeva

7.4 Primjena vijčanih spojeva

7.4.1 Izrada elemenata vijčanih spojeva

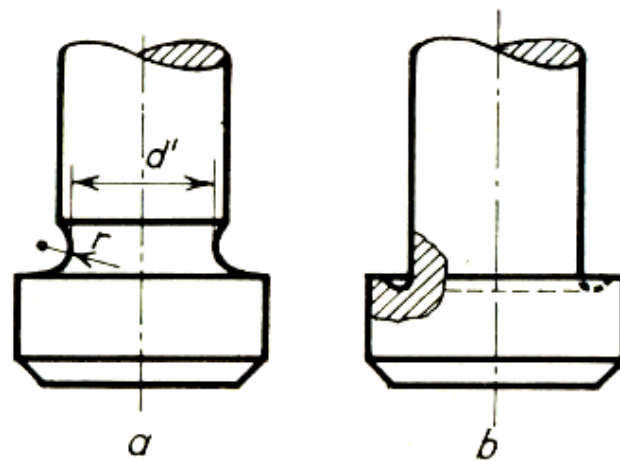
Vijci i matice se izrađuju sa:

- šesterokutnim glavama,
- četverokutnim glavama.



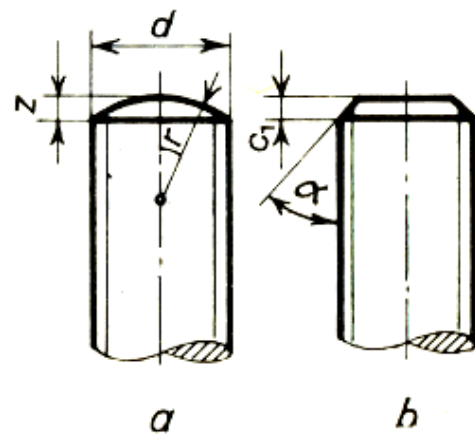
Utori za rasterećenje:

- (c) na svornjaku
- (d) na glavi vijka

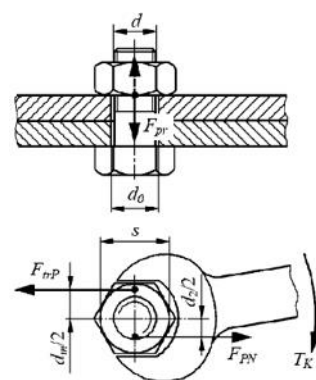


Oblici završetaka vijaka:

- (a) zaobljeni
- (b) stožasti



7.4.2 Montaža i demontaža vijčanih spojeva



$$T_K = F_{pr} \left[\frac{d_2}{2} \cdot \tan(\phi + \rho') + \mu_P \cdot \frac{s + d_0}{4} \right]$$

T_K – Nmm - potreban moment pritezanja vijčanog spoja (moment ključa)

F_{pr} – N - sila prednaprezanja u vijku

μ_P - koeficijent trenja između glave vijka ili matice i podloge

d_m – mm - srednji promjer naliježne površine glave vijka ili matice na podlogu

$d_m \approx (s+d_0)/4$; kod šesterokutnih ili cilindričnih glava $d_m \approx 0,65 \cdot d$

d_0 – mm - promjer rupe u kojoj je vijak

s - otvor ključa kod šesterokutnih i četverokutnih vijaka

d – mm - nominalni promjer navoja.

7.4.3 Režimi rada i vijek trajanja vijčanih spojeva

7.4.4 Održavanje vijčanih spojeva

7.4.5 Odlaganje vijčanih spojeva

7.4.6 Pogreške u primjeni vijčanih spojeva

Dodatak

Literatura

Böge2011/I62÷85, Bickford 2007, Bickford1998, Brown2005/339÷366, Budynas2011/409÷473, Childs2004/266÷274, Dec-ker1987/82÷102, DIN2008/503÷571, Elčić1973/105÷176, Fleischer2009, Grote2007/443÷455, Grote2009/626, Haberhauer2011/171÷208, Hering2004/380÷389, Jelaska2005/73÷87, Klebanov2008/277÷319, Kraut1988/263÷276,286÷287, Kulak1987, Künne2008/282÷344, Lingaiah2004/510÷585, Marghitu2001/243÷252, Messler2004/118÷134, Mott2004/728÷744, Muhs2006/77÷105, Muhs2007/44÷55,185÷194,272÷280, Niemann2005/410÷487, Norton2006/832÷897, Oberg2009/1426÷1849, Pandžić2008/55÷66, Podhor-sky1963÷1997/5-228÷5-238, Podrug2008/21÷29, Shigley2004/671÷748, Spotts1961/101÷115, Steinhilper12008/276÷387, Ti-mings2000/85÷179, Timings2005/123÷287, Vitas1990/66÷154, Wittel2009/236÷392.

##

- D** Oberg27/1495 (vijci za drvo), 1473÷1586 (skice, formule, ANSI/ASME/BS norme – opsežne detaljne tablice, anglosaksonske jedinice), 1721÷1982 (navoji),
- E** Oberg28/1382÷1849 (skice, formule, ANSI/ASME/BS norme – opsežne detaljne tablice, anglosaksonske jedinice),
- B** Parmley/11-1÷11-20, 16-1÷16-19 (primjeri konstrukcijskih rješenja),
- D** Avallone/644÷664 (ANSI/ASME norme – tablice, anglosaksonske jedinice),
- B** Böge20/I62÷I85 (skice, detaljan proračun s primjerima, DIN/ISO norme – nekoliko tablica),
- B** Brown/339÷366 (detaljan proračun s primjerima),
- A** Budynas/402-463, (skice, ANSI/ASTM norme – nekoliko tablica, SI jedinice, detaljan proračun s primjerima i zadacima – dio rješenja)
- B** Carvill/19÷23 (proračun), 304÷308 (pregled – skice), 310÷313 ISO (tablica),
- A** Childs/266÷273 (osnove, proračun, primjeri) 287÷289 (literatura, norme, WEB, označe),
- A** Decker/82÷102 (norme, skice, tablice, oblikovanje, proračun),
- A** DIN/503÷555, 575÷ (norme, skice, tablice),
- A** Fleicher (primjeri proračuna),
- B** GroteDubbel/443÷455 (osnove, skice, konstrukcijska rješenja, proračun), 576÷577 (tablice), 590÷591 (literatura),
- AA** Haberhauer15/182÷227, **AA** Haberhauer16/171÷216, 640÷641 (literatura),
- A** Hering/380÷389 (kratko: skice, tablice, proračun),
- C** Hicks/428÷432 (primjer proračuna),
- AA** Jelaska/73÷87
- B** Klebanov/277÷319 (zanimljivi detalji),
- B** Kraut/263÷276 (navoji, norme – skice i tablice), 286÷287 (vijci i matice, norme – skice i tablice)
- AA** Künne/282÷344,
- B** Kutz/818÷819 (zanimljivost – elektronska oprema),
- AA** Lingaiah/510÷585 (označe, formule, norme – skice, tablice),
- AA** Messler/45÷106 (vijčani spojevi, osnove, prednosti i nedostatci, pitanja), 118÷134 + 173÷176 (navoji, vijci i matice, pitanja),
- AA** Mott/727÷744 (osnove, WEB, pitanja),
- AA** Muhs/Aufgabesammlung/44÷55 (zadaci), 185÷194 (postavke rješenja), 272÷280 (rješenja),
- AA** Muhs/Formelsammlung/77÷105 (označe, formule, tijek proračuna, popis DIN EN ISO normi),
- AA** Niemann/410÷487,
- AA** Norton/832÷897,
- A** Podrug/21-29 (sazete osnove i formule),
- AA** Shigley3/671÷748, Shigley2/21.1÷21.38, 23.1÷23.39
- A** Smith/309÷318 (zanimljivo – proizvođači)
- A** Smith-Maintenance/211,216,234, 240÷244 (zanimljivo – problemi, montaža)
- A** Spotts/101÷115 (osnove, primjeri, problemi, zadaci – dio s rezultatom)
- AA** Steinhilper/274÷387,
- A** Timings-Pocket/123÷287 (skice/tablice),

A Timings-Workshop/87÷179 (skice/tablice),

AA Vitas1/66÷154,

AA Wittel/236÷292,

Dodaci

- Dimenzijs poluokruglih zakovica čeličnih konstrukcija DIN 124 Decker/62
- Dimenzijs poluokruglih zakovica DIN 660 i zkovica za upuštanje DIN 661 Decker/73
- Razmaci zakovica čeličnih konstrukcija Decker/66
- Pozicije i dopušteni promjeri prorvta za normirane profile Decker/66
- Dopuštena naprezanja zakovica čeličnih konstrukcija Decker/66
- Aluminijiske legure za zakovice DIN 4113 Decker/70
- Dopuštena naprezanja zakovica konstrukcija od lakih materijala Decker/71
- Dopuštena naprezanja zakovičnih spojeva strojarskih elemenata Decker/71
- Izbor steznih spojeva DIN 7154 i DIN 7155 Decker/71

Internet

Childs2004/288, Mott2004/743÷744, Wittel2009/392, Bickford 2007/530÷531,

<http://www.div.com.hr>

www.apexfasteners.com

www.fabory.com

www.fastenertechnology.com

www.libertyfastener.com

www.nutsandbolts.net

www.rataloc.com

www.seac.uk.com

www.sinofastener.com

www.skybolt.com

www.watai.com

www.yerd.com.hk

<http://www.wlw.de>

<http://www.lederer-online.com>

Norme

Künne12008/282÷284, Muhs2006/93÷105, Niemann2005/483÷487, Steinhilper12008/378÷387,

EN 24032/3/5. ISO metric hexagon bolts, screws and nuts.

EN ISO 2009. Slotted head bolts.

EN ISO 7046-1. Recessed head set screws.

Oznake

Carvill2003/299÷300, Haberhauer2011/637, Shigley1996/A.2,
 Childs2004/288, Künne2008/284÷285, Lingaiah2004/510÷512, Muhs2006/77÷79, Niemann2005/410÷411, Shigley2004/671÷674,
 Bickford 2007/514÷520,

A	– površina, mm^2
D/d	– vanjski/unutarnji promjer, mm
F	– sila, N
m	– masa, kg
$L/B/H$	– duljina/širina/visina, mm
p	– tlak, N/mm^2
t	– vrijeme, s
T	– apsolutna temperatura, K
V	– volumen, m^3
v	– brzina, m/s
W	– rad, J
ϑ	– temperatura, $^\circ\text{C}$
η	– koeficijent gubitaka energije, 1 ; dinamička viskoznost, $\text{Pa}\cdot\text{s}$
ρ	– gustoća, kg/dm^3 ; električna otpornost, $\mu\Omega\cdot\text{cm}$

Rječnik

Carvill2003/322÷340,

Childs2004/268, Bickford 2007/522÷529,

Podloge

Razno

IZ: NERASTAVLJIVI SPOJEVI !!!

Provjera znanja

Kod prezentacija i računskih zadataka ocjenjuje se: zanimljivost, sadržaj, obim, razina i estetika.

Prezentacija

- *Svaki student u grupi priprema prezentaciju uz korištenje programa: PowerPoint, CorelDraw i Photoshop;*

Izračunavanja

- *Računske zadatke rade timovi od po 3 studenta (2 ili 4);*
- *Tekst se piše u Word-u s formulama pisanim uz korištenje MathType-a;*
- *Crtiči se izrađuju u CorelDraw i/ili AutoCAD-u i/ili SolidWorks-u;*
- *Zadacima se prilažu MATLAB semi-programi (format *.m);*

4. Zadatak – 04 Nerastavlјivi spojevi: (50 bodova)

- (a) Izraditi prezentaciju odabrane teme iz nerastavlјivih spojeva (20 bodova);
- (b) Usvojiti zalijepljeni spoj (10 bodova);
- (c) Usvojiti zakovični spoj (20 bodova).

4. Zadatak – (a) Prezentacija (20 bodova)

Izraditi prezentaciju odabrane teme iz nerastavlјivih spojeva.

4. Zadatak – (b) Zalijepljeni spoj (10 bodova)

Usvojiti zalijepljeni spoj.

4. Zadatak – (c) Zakovični spoj (20 bodova)

Usvojiti zakovični spoj.

4. Zadatak – (a) Prezentacija (20 bodova)

Izraditi prezentaciju odabrane teme iz nerastavljivih spojeva.

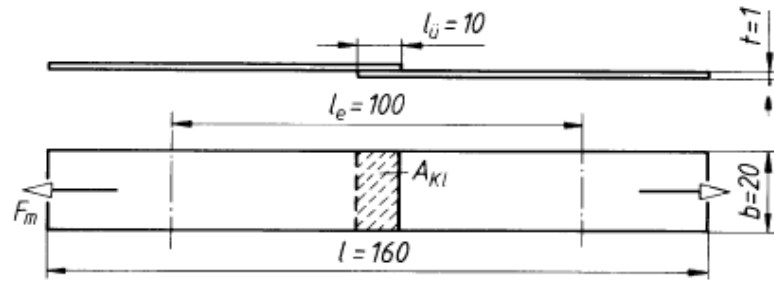
Napomena: Naslov teme može biti jednak ili uži od sljedećih naslova tema:

Teme

6. Spajanje
7. Vrste spojeva
8. Vrste nerastavljivih spojeva
9. Dinamička opterećenja
10. Osnove zalipljenih spojeva
11. Materijali za lijepljenje
12. Oblikovanje zalipljenih spojeva
13. Proračun zalipljenih spojeva
14. Tehnologija spajanja lijepljenjem
15. Lijepljenje keramika i metala
16. Lijepljenje polimernih materijala i kompozita
17. Osnove zakovičnih spojeva
18. Vrste spojeva sa zakovicama
19. Oblikovanje zakovičnih spojeva
20. Proračun spojeva sa zakovicama
21. Tehnologija spajanja sa zakovicama
22. Spajanje pop zakovicama
23. Osnove nerastavljivih steznih spojeva
24. Oblikovanje nerastavljivih steznih spojeva
25. Proračun nerastavljivih steznih spojeva
26. Tehnologija spajanja nerastavljivim steznim spojevima
27. Osnove nerastavljivih oblikovnih spojeva
28. Oblikovanje nerastavljivih oblikovnih spojeva
29. Proračun nerastavljivih oblikovnih spojeva
30. Tehnologija spajanja nerastavljivim oblikovnim spojevima

4. Zadatak – (b) Zalijepljeni spoj (20 bodova)

Zadatak **Z-04.01** Za ispitivanje čvrstoće zalijepljenog spoja s reakcijskim ljepilom X pripremljena je epruveta. [Wittel (2007), str. 13/153/230]



Pravac opterećivanja epruvete prikazan je na slici.

Provedbom pokusa utvrđeno je opterećenje pri lomu $F_m = 5200 \text{ N}$.

Odrediti:

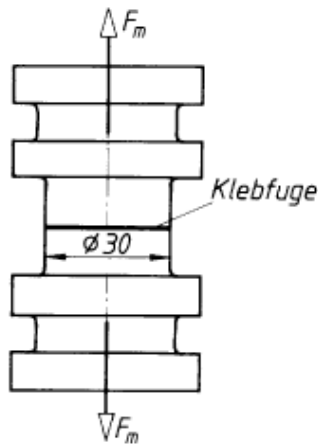
Kolika je čvrstoća zalijepljenog spoja (τ_{zs}) s reakcijskim ljepilom X?

Rješenje:

$$\tau_{zs} = 26 \text{ N/mm}^2 \quad (A_{KB} = 200 \text{ mm}^2)$$

Zadatak **Z-04.02** Za ispitivanje čvrstoće zalijepljenog spoja pripremljena je epruveta.

[Wittel (2007), str. 13/153/230]



Pravac opterećivanja epruvete prikazan je na slici.

Provedbom pokusa utvrđeno je opterećenje pri lomu $F_m = 36,8 \text{ kN}$.

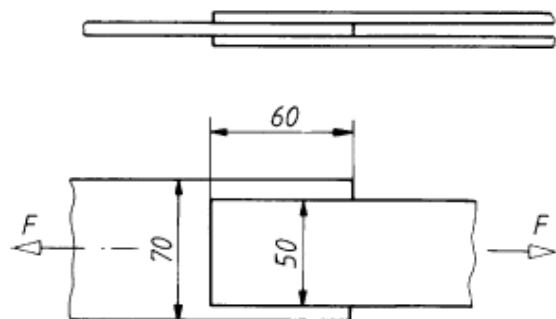
Odrediti:

Kolika je provedbom pokusa dobivena čvrstoća zalijepljenog spoja (σ_{zs})?

Rješenje:

$$\sigma_{zs} = 36,8 \text{ N/mm}^2 \quad (A_{KB} = 707 \text{ mm}^2)$$

Zadatak Z-04.03 Na jednom kraju trake dimenzija $70 \times 10 \text{ mm}$ zalipljene su s preklopom dvije trake dimenzija $50 \times 6 \text{ mm}$. Za lijepljenje se koristi lijepilo X. Radno opterećenje je vlačno statičko od $F = 15 \text{ kN}$. [Wittel (2007), str. 14/153/230]



Čvrstoća je materijala traka $R_m = 440 \text{ N/mm}^2$.

Pokusom opisanim na slici uz **Z-04.01** dobivena je čvrstoća zalipljenog spoja $\tau_{zs} = 440 \text{ N/mm}^2$. (podaci proizvođača)

Čvrstoća zalipljenog spoja se na svakih 10 mm povećanja duljine prijeklopa smanji u prosjeku za 8% .

Odrediti:

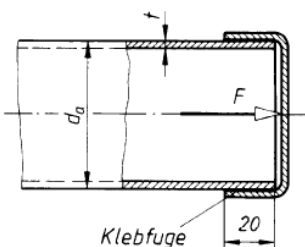
- (a) Faktor sigurnosti S_1 s preklopom zalipljenih traka.
- (b) Faktore sigurnosti S_1 zalipljenog spoja s $\tau_{zs(60)}$ pri $L_p = 60 \text{ mm}$.

Rješenje:

- (c) $S_1 = 17,6$.
- (d) $S_2 = 10,4$.

Wittel (2007), str. 14/153/230.

- 5.6** Das Ende eines Wasserrohres aus Polyvinylchlorid (PVC) von $d_a = 63 \text{ mm}$ Außendurchmesser und $t = 3 \text{ mm}$ Wanddicke wird mit einer geklebten Kappe verschlossen. Es ist zu prüfen, ob die Klebverbindung bei einem höchsten Wasserdruk $p = 4 \text{ bar}$ sicher hält, wenn die Bindefestigkeit des Klebers bei 20 mm Überlappungslänge $\tau_{KB} = 8 \text{ N/mm}^2$ beträgt.

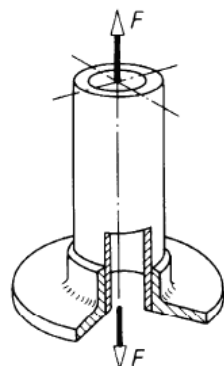


Wittel (2007), str. 14/153/230.

5.7

- • Eine Rohrleitung 50×2 aus ENAW-AlMg3-H14 wird durch einen geklebten Flansch abgeschlossen. Der Kleber weist eine Bindefestigkeit $\tau_{KB} = 20 \text{ N/mm}^2$ auf. Rohr und Klebverbindung müssen eine 2-fache Sicherheit gegen Bruch aufweisen.

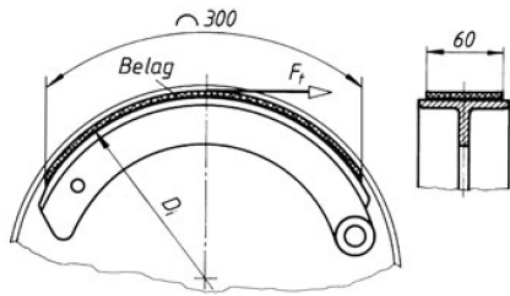
Wie groß ist die zulässige statische Zugkraft F für das Rohr und welche Überlappungslänge l_u muss für die Steckverbindung ausgeführt werden?



Wittel (2007), str. 15/153/231.

5.8

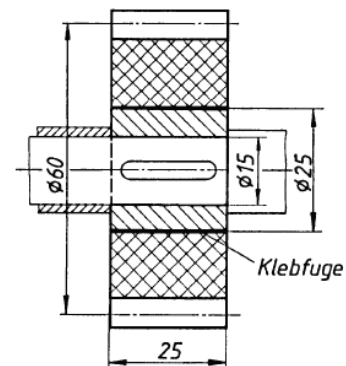
- • Der Bremstrommel-Innendurchmesser eines Lastkraftwagens beträgt $D_i = 280 \text{ mm}$. Die auf die Bremsbacken aufgeklebten Beläge haben 60 mm Breite und 300 mm Länge. Im ungünstigsten Fall kann damit gerechnet werden, dass ein einziger Belagstreifen durch eingedrungenes Wasser an der Trommel anfriert und das größte Rad-Drehmoment $T \approx 3,5 \cdot 10^6 \text{ Nmm}$ von der Klebverbindung zu übertragen ist. Es ist zu prüfen, ob für die Klebverbindung Bruchgefahr besteht, wenn für den vorgesehenen Kleber die Bindefestigkeit $\tau_{KB} = 15 \text{ N/mm}^2$ beträgt.



Wittel (2007), str. 15/153/231.

5.9

- Ein Schaltritzel mit Modul $m = 3 \text{ mm}$ und einer Zähnezahl $z = 20$ hat die größte Leistung $P = 0,12 \text{ kW}$ bei einer Drehzahl $n = 160 \text{ min}^{-1}$ zu übertragen. Da die Drehrichtung ständig umkehrt und das Ritzel möglichst geräuscharm und elastisch arbeiten soll, ist der Zahnkranz aus Polyamid mit einer Nabe aus Stahl verklebt. Wie groß ist die gegen Dauerbruch vorhandene Sicherheit S der Klebverbindung, wenn nach Angaben des Herstellers für den Klebstoff mit der *statischen* Bindefestigkeit $\tau_{KB} \approx 12 \text{ N/mm}^2$ die *dynamische* Bindefestigkeit sich ergibt aus $\tau_{KW} \approx 0,3 \cdot \tau_{KB}$? Auftretende Stöße sind durch $K_A = 1,5$ zu berücksichtigen.



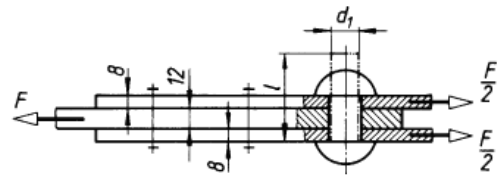
4. Zadatak – (c) Zakovični spoj (20 bodova)

Usvojiti zakovični spoj.

Wittel (2007), str. 31/162/246.

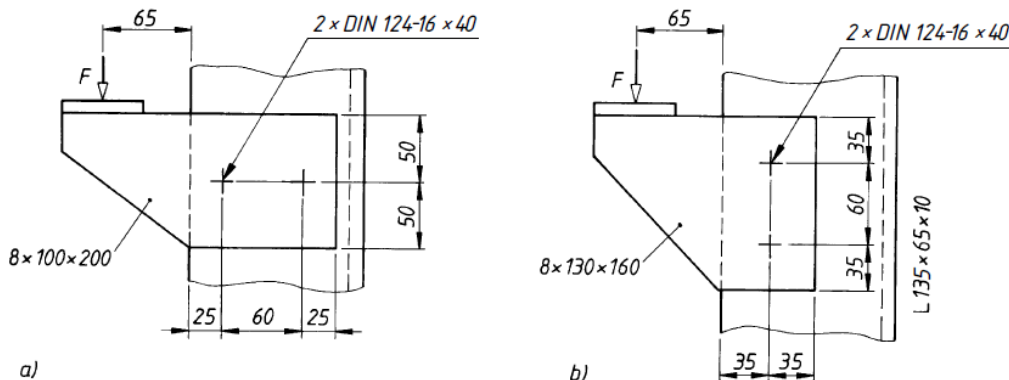
- 7.1** Für die Nietverbindung (Stahlbau) sind bei einem Bauteilwerkstoff S235 zu bestimmen
•• bzw. anzugeben:

- der günstige Rohnietdurchmesser d_1 und die Rohnietlänge l bei einem Halbrundkopf als Schließkopf (Maschinennietung), wobei eine genormte Nietlänge festzulegen ist;
- die vollständige, normgerechte Bezeichnung des Nieten bei Bestellung;
- die übertragbare zulässige Kraft F der Verbindung bei 3 Nieten und für die größtmögliche Beanspruchung auf Lochleibung ausreichenden Rand- und Lochabständen.



Wittel (2007), str. 37/162/248.

- 7.5** Für das an den breiten Schenkel eines L135 × 65 × 10 anzuschließende und mit $F = 12 \text{ kN}$ (Stahlbau) belastete 8 mm dicke Konsolblech aus S235 stehen die beiden den Bildern a und b entsprechenden Nietanordnungen zur Auswahl.
Der beanspruchungsmäßig günstigere Nietanschluss ist zu ermitteln und festigkeitsmäßig nachzuprüfen.

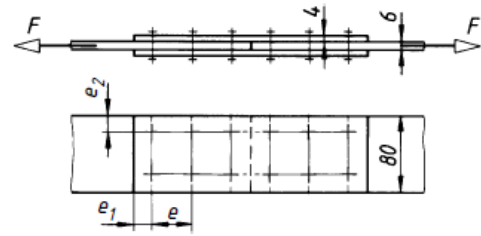


Wittel (2007), str. 34/163/251.

- 7.8** In einer Leichtmetallkonstruktion sollen zwei Zugbänder $\square 80 \times 6$ aus ENAW-6082T5 durch Doppellaschennietung verbunden werden. Die vorwiegend ruhend wirkende Zugkraft beträgt $F_H = 32 \text{ kN}$ im Lastfall H und $F_{H_S} = 22 \text{ kN}$ im Lastfall H_S . Als Nietwerkstoff wird AlMgSi1F25 gewählt.

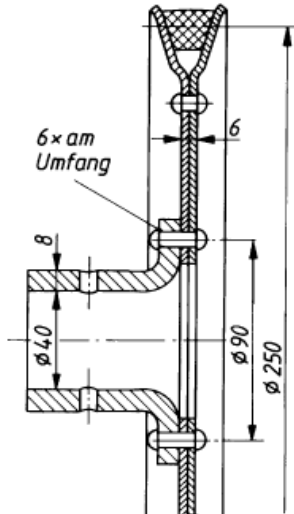
Die Nietverbindung ist zu bemessen und im Maßstab 1:2 zu entwerfen.

Hinweis: Die Anzahl der eingezeichneten Niete braucht nicht mit der berechneten übereinzustimmen.



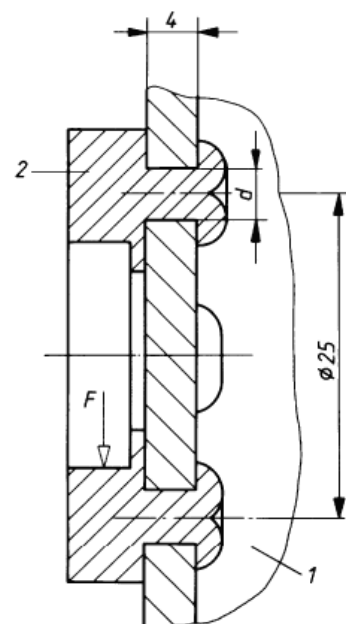
Wittel (2007), str. 37/164/253.

- 7.12** Zur Herstellung einer Keilriemenscheibe aus Aluminium, die eine Leistung $P = 4 \text{ kW}$ bei der Drehzahl $n = 450 \text{ min}^{-1}$ stoßfrei zu übertragen hat, wird die Nabe aus ENAC - 51300 K ($\sigma_{1\text{zul}} = 54 \text{ N/mm}^2$) mit der aus zwei gepressten Blechen aus ENAW - 5049 H111 gefertigten Scheibe durch 6 Niete DIN 660-6 \times 25 - AlMg5W27 verbunden. Die Nietverbindung soll unter Berücksichtigung der Wellenkraft F_w nachgeprüft werden ($F_w \approx 1,5 \cdot F_t$), wobei wegen etwaiger dynamischer Lastanteile die nach DIN 4113 im Lastfall H geltenden zulässigen Spannungen um 25 % herabzusetzen sind.



Wittel (2007), str. 38/164/254.

- 7.16** Bei einer Konstruktion aus Polyamid (PA 66) werden Gehäuse (1) und Lagerschild (2) durch Spritzgießen getrennt hergestellt. Das Lager mit vier angegossenen Nietschäften soll dann mit dem Gehäuse durch Ultraschallnieten verbunden werden. Welcher Nietdurchmesser d ist erforderlich, wenn unter Berücksichtigung der ungünstigsten Betriebsbedingungen die radiale Lagerkraft $F = 300 \text{ N}$ beträgt?



Literatura

1. Androić B., Dujmović D., Džeba I.: Metalne konstrukcije 1 – Eurocode; Institut građevinarstva Hrvatske, 1994.
2. Böge A.: Handbuch Maschinenbau – Grundlagen und Anwendungen der Maschinenbau-Technik, 20. Auflage; Vieweg+Teubner, 2011.
3. Böge A.: Vieweg Handbuch Maschinenbau – Grundlagen und Anwendungen der Maschinenbau-Technik, 18. Auflage; Vieweg, 2007.
4. Bickford J. H.: Introduction to the Design and Behavior of Bolted Joints – Non-Gasketed Joints, 4th Edition; CRC, 2007.
5. Brown T. H. Jr.: Mark's Calculations For Machine Design; McGraw-Hill, 2005.
6. Budynas R. G., Nisbett J. K.: Shigley's Mechanical Engineering Design, 9th Edition; McGraw-Hill, 2011.
7. Carvill J.: Mechanical Engineer's Data Handbook; Butterworth-Heinemann, 2003.
8. Childs P.: Mechanical Design, 2nd Edition; Elsevier Butterworth-Heinemann, 2004.
9. Decker K.-H.: Elementi strojeva, 2. izdanje; Tehnička knjiga, 1987.
10. Decker K.-H.: Elementi strojeva, 3. izdanje; Golden marketing - Tehnička knjiga, 2006.
11. DIN – Deutsches Institut für Normung: Klein Einführung in die DIN-Normen, 14. Auflage; B.G.Teubner – Beuth, 2008.
12. Elčić Z., Grubješić N., Kostelić A., Mađarević B., Oberšmit E., Račić V., Sentić B., Skalicky B., Vojta D.: Praktičar 3 – Strojarstvo 2; Školska knjiga, 1973.
13. Fleischer B., Theumert H.: Entwickeln Konstruieren Berechnen – Komplexe praxisnahe Beispiele mit Lösungsvarianten, 2. Auflage; Vieweg + Teubner, 2009.
14. Grote K.-H., Feldhusen J.: Dubbel - Taschenbuch für den Maschinenbau, 22. Auflage; Springer, 2007.
15. Grote K.-H., Feldhusen J.: Dubbel - Taschenbuch für den Maschinenbau, 22. Auflage; Springer, 2007.
16. Hall A. S. Holowenko A. R., Laughlin H. G.: Schaum's Outline of Theory and Problems of Machine Design; McGraw-Hill, 1968.
17. Haberhauer - Maschinenelemente – Gestaltung Berechnung Anwendung, 16. Auflage; Springer, 2011.
18. Hering E., Schröder B.: Springer Ingenieurtabellen; Springer, 2004.
19. Jelaska D.: Elementi strojeva – skripta za studente Industrijskog inženjerstva; Fakultet elektrotehnike, strojarstva i brodogradnje Sveučilišta u Splitu, 2005.
20. Klebanov B. M., Barlam D. M., Nystrom F. E.: Machine Elements – Life and Design; CRC Taylor & Francis Group, 2008.
21. Kraut B.: Strojarski priručnik, 9. izdanje; Tehnička knjiga, 1988.
22. Kulak G. L., Fisher J. W., Struik J. H. A.: Guide to Design Criteria for Bolted and Riveted Joints, 2nd Edition; Wiley-Interscience, 1987.
23. Künne B.: Köhler Rögnitz Maschinenteile Vol 1, 10. Auflage; Vieweg + Teubner, 2008.
24. Kutz M.: Mechanical Engineers' Handbook, 2nd Edition; Wiley, 1998.
25. Lingaiah K.: Machine Design Databook, 2nd Edition; McGraw-Hill, 2002.
26. Marghitu D. B.: Mechanical Engineer's Handbook; Academic Press, 2001.
27. Messler R. W.: Integral Mechanical Attachment – A Resurgence of the Oldest Method of Joining; Butterworth-Heinemann, 2006.
28. Messler R. W.: Joining of Materials and Structures From Pragmatic Process to Enabling Technology; Elsevier Butterworth-Heinemann, 2004.
29. Mott R. L.: Machine Elements in Mechanical Design, 4th Edition; Prentice Hall, 2004.
30. Muhs D., Wittel H., Jannasch D., Becker M., Voßiek J.: Roloff/Matek Maschinenelemente – Interaktive Formelsammlung auf CD-ROM, 8. Auflage; Vieweg, 2006.
31. Muhs D., Wittel H., Jannasch D., Voßiek J.: Roloff/Matek Maschinenelemente – Aufgabensammlung – Aufgaben, Lösungshinweise, Ergebnisse, 14. Auflage; Vieweg, 2007.

32. Niemann G., Winter H., Höhn B.-R.: Maschinenelemente – Band 1 – Konstruktion und Berechnung von Verbindungen, Lagern, Wellen, 4. Auflage; Springer, 2005.
33. Norton R. L.: Machine Design – An Integrated Approach, 3rd Edition; Prentice Hall, 2006.
34. Oberg E., Jones F. D., Horton H. L., Ryffel H. H.: Machinery's Handbook 27th Edition; Industrial Press, 2004.
35. Oberg E., Jones F. D., Horton H. L., Ryffel H. H.: Machinery's Handbook 28th Edition; Industrial Press, 2008.
36. Pandžić J., Pasanović B.: Elementi strojeva – udžbenik s DVD-om za 2. razred tehničkih škola u području strojarstva i brodogradnje; Neodidacta, 2008.
37. Parmley R. O.: Machine Devices and Components Illustrated Sourcebook; McGraw-Hill, 2005.
38. Podrug S.: Elementi strojeva – predavanja za stručni i preddiplomski studij brodogradnje; Fakultet elektrotehnike, strojarstva i brodogradnje Sveučilišta u Splitu, 2008.
39. Podhorsky R.: Tehnička enciklopedija, svske 1÷13; Leksikografski zavod, 1963÷1997.
40. Shigley J. E., Mischke C. R.: Standard handbook of machine design, 2nd Edition; McGraw-Hill Professional, 1996.
41. Shigley J. E., Mischke C. R.: Standard handbook of machine design, 3rd Edition; McGraw-Hill Professional, 2004.
42. Smith E. H.: Mechanical Engineer's Reference Book 12th Edition; Butterworth-Heinemann, 2000.
43. Smith R., Mobley R. K.: Industrial Machinery Repair - Best Maintenance Practices Pocket Guide; Butterworth-Heinemann, 2003.
44. Spotts M. F.: Design of Machine Elements; 3rd Edition; Prentice Hall, 1961.
45. Steinhilper W., Sauer B.: Konstruktionselemente des Maschinenbaus 1 – Grundlagen der Berechnung und Gestaltung von Maschinenelementen, 7. Auflage; Springer, 2008.
46. Timings R.: Mechanical Engineer's Pocket Book, 3rd Edition; Newnes, 2005.
47. Timings R.: Newnes Workshop Engineer's Pocket Book; Newnes, 2000.
48. Vitas D. J., Trbojević M. D.: Masinski elementi I, 10. izdanje; Naucna knjiga, 1990.
49. Whitney D. E.: Mechanical Assemblies: Their Design, Manufacture, and Role in Product Development; Oxford University Press, 2004.
50. Wittel H., Muhs D., Jannasch D., Voßiek J.: Roloff/Matek Maschinenelemente – Lehrbuch und Tabellenbuch – Normung, Berechnung, Gestaltung, 19. Auflage; Vieweg + Teubner, 2009.